

บทที่ 4 ผลการทดลองและวิจารณ์ผลการทดลอง

4.1 การเตรียมซีเรียมออกไซด์ที่มีการเติมโลหะว่องไวด้วยวิธีการต่างๆ

ในการศึกษาวิธีที่เหมาะสมสำหรับการเตรียมซีเรียมออกไซด์ที่มีการเติมโลหะว่องไวได้ใช้ $(\text{NH}_4)_2\text{Ce}(\text{NO}_3)_6$ เป็นแหล่งซีเรียม และ $\text{Ni}(\text{NO}_3)_2 \cdot 6\text{H}_2\text{O}$ เป็นแหล่งนิกเกิล ซึ่งได้แบ่งวิธีการเติมโลหะว่องไว 3 แบบดังนี้

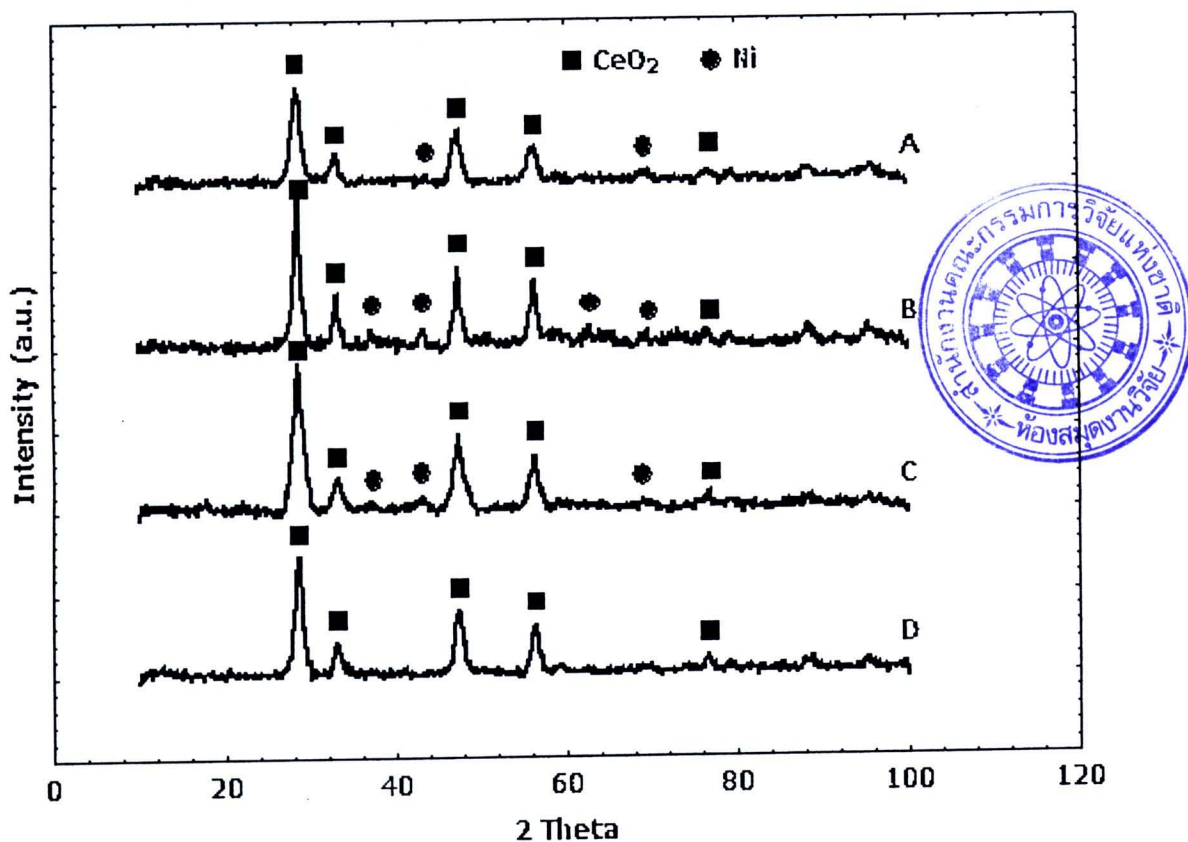
- 1) การเตรียมซีเรียมออกไซด์โดยวิธี Colloidal Emulsion Aphron (CEA) และเติมโลหะว่องไว Ni โดยวิธี Wet Impregnation [5], [7]
- 2) การเตรียมซีเรียมออกไซด์โดยวิธี Colloidal Emulsion Aphron (CEA) และเติมโลหะว่องไว Ni โดยเตรียม Ni ด้วยวิธี Colloidal Emulsion Aphron (CEA) เช่นกัน แล้วเติมตัวรองรับ CeO_2 ลงไปในสารละลายนิมัลชันของ Ni [4]
- 3) การเตรียม Ni/CeO_2 โดยวิธี Colloidal Emulsion Aphron (CEA) โดยหยดสารละลายนิมัลชันใน Colloidal Emulsion Aphron (CEA) แล้วตามด้วยสารละลายนิกเกิล

ในการวิเคราะห์คุณลักษณะต่างๆ ของตัวเร่งปฏิกรณ์ยาที่ได้จากการสังเคราะห์ด้วยวิธี Colloidal Emulsion Aphron (CEA) และเติมโลหะว่องไวด้วยวิธีที่แตกต่างกันจาก 3 แบบข้างต้นนี้ วิเคราะห์ด้วย XRD, BET, TEM, SEM, TPR และ เบอร์เซ่นโลหะว่องไว (Ni) ที่มีใน Ni/CeO_2 เมื่อได้ผลการวิเคราะห์คุณสมบัติของ Ni/CeO_2 จากวิธีการเติมโลหะว่องไวทั้ง 3 แบบแล้วนำไปทดสอบในกระบวนการ Steam reforming ด้วยมีเทน แล้วเลือกวิธีการเติมโลหะว่องไวที่เหมาะสมที่ให้ค่าต่างๆ ได้ดีที่สุดเพื่อเตรียม Ni/CeO_2 ในขั้นตอนต่อไป

4.1.1 X-ray diffraction (XRD)

เมื่อนำอนุภาค Ni/CeO₂ ที่ได้จากการสังเคราะห์จากทั้ง 3 วิธี ไปวิเคราะห์ด้วยเทคนิคการเลี้ยงเบนของรังสีเอ็กซ์ (X-ray Diffraction; XRD) จะได้กราฟ Diffractogram ของสารตัวอย่าง ซึ่งสามารถอ่านผลเสียงเรียบของออกไซด์ (CeO₂) และเสียงของnickel (Ni) บนตัวเร่งปฏิกิริยาได้

สำหรับการวิเคราะห์กราฟ XRD สามารถทำได้โดยเปรียบเทียบกราฟ XRD ที่ได้กับกราฟรูปแบบมาตรฐาน โดยในแกนตั้งแสดงถึงความเข้มของพิกซึ่งมีความสัมพันธ์กับปริมาณผลลัพธ์ที่เป็นองค์ประกอบในตัวเร่งปฏิกิริยา และแกนนอนแสดงค่ามุม 2-Theta ซึ่งให้ผลการวิเคราะห์ดังรูปที่ 4.1

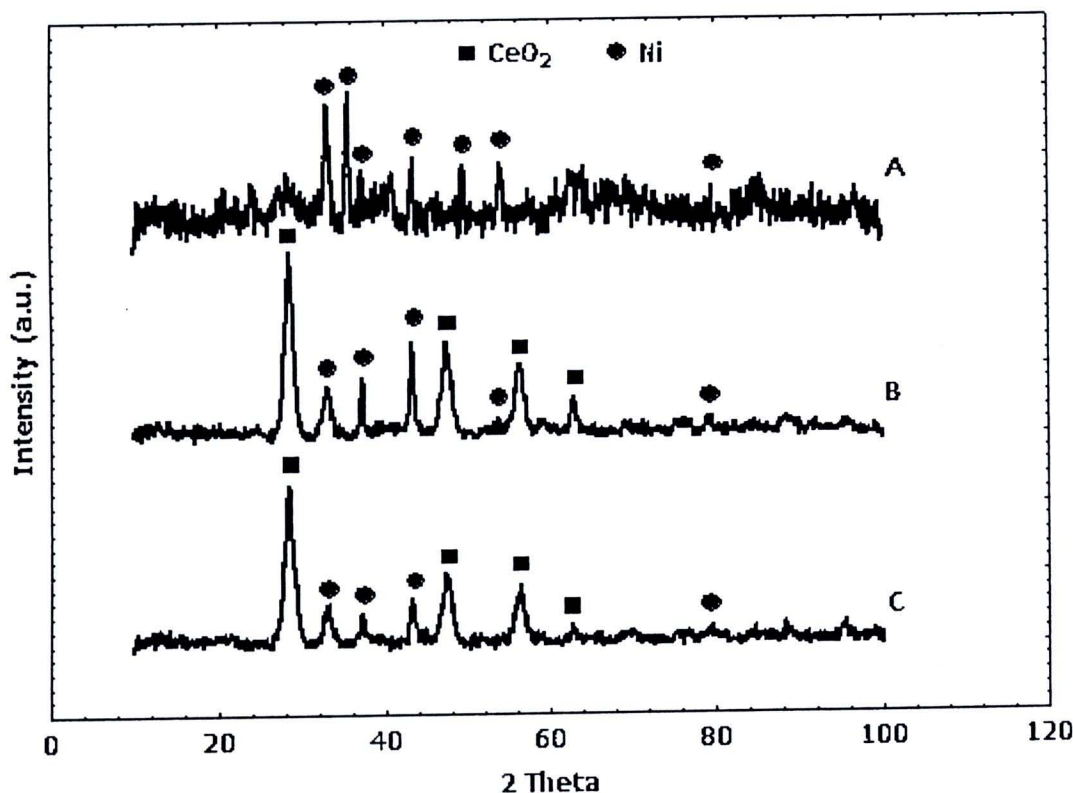


รูปที่ 4.1 ผลการวิเคราะห์ที่ได้จากการเลี้ยงเบนของรังสีเอ็กซ์ของตัวเร่งปฏิกิริยา Ni/CeO₂ จากทั้ง 3 วิธี: A วิธีที่ 1, B วิธีที่ 2, C วิธีที่ 3 และ D = CeO₂

จากรูปที่ 4.1 พบว่าทั้ง 3 วิธีการเตรียมมีเสียงของ CeO₂ เป็นเสียงหลัก ตำแหน่งที่มีพีกเกิดขึ้นนั้นตรงตาม Standard ทุกตำแหน่ง และเมื่อเปรียบเทียบกับกราฟ Diffractogram ของ CeO₂ มีความแตกต่างตรงตำแหน่งพีก NiO ซึ่งพบเฉพาะในกราฟ Diffractogram ของ Ni/CeO₂ ที่สังเคราะห์ได้จาก

ทั้ง 3 วิธี สำหรับตัวเร่งปฏิกิริยา Ni/CeO₂ ที่ได้จากวิธีที่ 1 พนเฟส NiO ชั้ดเจนที่ตำแหน่ง 43.4° 62.9° Ni/CeO₂ ที่ได้จากวิธีที่ 2 พนเฟส NiO ชั้ดเจนที่ตำแหน่ง 37.4° 43.4° 62.9° และ 75.5° และตัวเร่งปฏิกิริยา Ni/CeO₂ วิธีที่ 3 พนเฟส NiO ชั้ดเจนที่ตำแหน่ง 37.4° 43.4° และ 62.9° การปรากฏของ NiO ในตัวเร่งปฏิกิริยาวิธีที่ 2 มีความเป็นผลลัพธ์ได้ชั้ดเจนตามด้วยวิธีที่ 3 ส่วนวิธีที่ 1 ปรากฏพิคไม่ชัดเจนดังแสดงตามรูปที่ 4.1 ซึ่งมีความเป็นไปได้การเตรียมวิธีที่ 3 ที่ Ni²⁺ ไอออนจะเข้าไปแทรกรวมใน Ceria lattice ใน Ni/CeO₂ เป็นสารละลายของแข็ง [6]

เพื่อตรวจสอบ NiO ในตัวเร่งปฏิกิริยาจึงเพิ่มปริมาณนิกเกลเป็น 50%wt. โดยการเตรียมตามวิธีที่ 2 และวิธีที่ 3 ได้ผลการวิเคราะห์ XRD ตามรูปที่ 4.2 ซึ่งพบว่าการเตรียม Ni/CeO₂ ตามวิธีที่ 2 ปรากฏความเป็นผลลัพธ์ของ NiO ได้ชัดเจนกว่าวิธีที่ 3 ตามงานวิจัยของ S.Nassos และคณะ [8] อธิบายว่า



รูปที่ 4.2 ผลการวิเคราะห์ที่ได้จากการเตรียมตัวเร่งปฏิกิริยา 50%Ni/CeO₂
(A) NiO (B) วิธีที่ 2, (C) วิธีที่ 3

การจุ่มตัวองรับลงในสารละลายนิกเกลนี้ Ni จะปิดรูพรุนของตัวองรับทำให้พื้นผิวลดลง ซึ่งวิธีที่ 2 เป็นการจุ่มตัวองรับลงใน CEA ที่มีอนุภาค Ni อยู่ ดังนั้นทำให้พื้นที่ผิวของตัวเร่งปฏิกิริยาในการเตรียมวิธีที่ 2 ลดลงเมื่อเปรียบเทียบกับ Ni/CeO₂ จากวิธีที่ 1 และวิธีที่ 3 และซึ่งเตรียมออกไซด์ที่ไม่มีการเติมโลหะว่องไว (Ni) เพราะอนุภาคนิกเกลใน CEA มีอนุภาคขนาดเล็ก

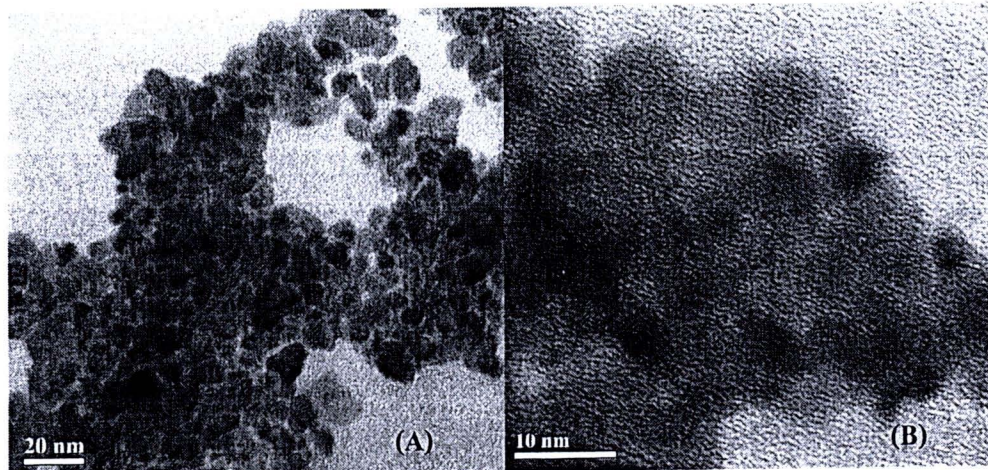
สำหรับการเตรียมตามวิธีที่ 1 เป็นการจุ่มแบบเปียก จากรูปที่ 4.1 NiO มีปริมาณและความเป็นผลึกต่ำ สำหรับการเตรียมตามวิธีที่ 3 มีพื้นที่ผิวสูงกว่าวิธีที่ 2 ซึ่งเป็นผลดีต่อการกระจายตัวของ NiO บนตัวรองรับ [19] แต่เนื่องจากเป็นการตกตะกอนร่วมของโลหะว่องไวกับตัวรองรับพร้อมกัน ซึ่งอาจมี NiO เข้ารวมเป็นสารละลายนอกและถูกปกคลุมด้วย CeO₂ ทำให้คุณสมบัติความว่องไวของตัวเร่งปฏิกิริยาลดลงได้

4.1.2 Transmission electron microscope (TEM)

อนุภาคซีเรียมออกไซด์ที่ได้จากการสังเคราะห์โดยวิธี CEAs และอนุภาค Ni/CeO₂ ที่ได้จากการสังเคราะห์โดยวิธีที่ 1, วิธีที่ 2 และวิธีที่ 3 ทั้งนี้เพื่อเป็นการศึกษาวิธีการเติมโลหะว่องไวที่มีผลต่อนุภาคของตัวเร่งปฏิกิริยาที่สังเคราะห์ได้และเมื่อนำมาทดสอบการทำงานวิเคราะห์อนุภาคโดยใช้เทคนิค TEM ให้ผลดังนี้

อนุภาค CeO₂

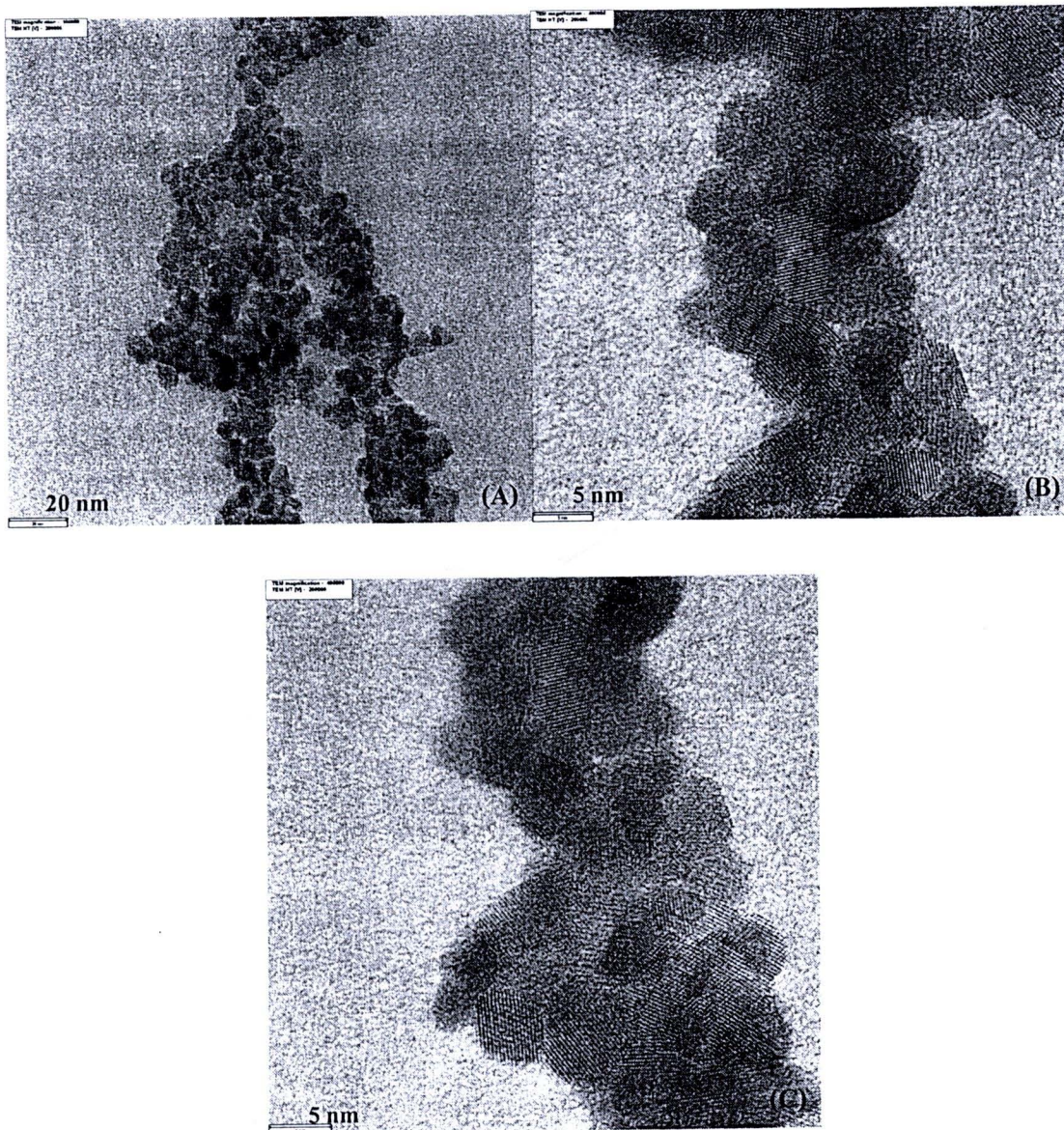
เมื่อนำอนุภาคซีเรียมออกไซด์ที่สังเคราะห์ได้ โดยใช้ (NH₄)₂Ce(NO₃)₆ เป็นแหล่งซีเรียมให้ผลดังแสดงในรูปที่ 4.3 จากผลที่ได้พบว่าอนุภาคของซีเรียมออกไซด์ที่สังเคราะห์ได้มีขนาดอนุภาคอยู่ที่ 4.71 นาโนเมตร



รูปที่ 4.3 TEM Photographs ลักษณะอนุภาค CeO₂ (A) กำลังขยาย 4×10^5 เท่า (B) 8×10^5 เท่า

ลักษณะอนุภาค Ni/CeO₂ ที่เตรียมตามวิธีที่ 1

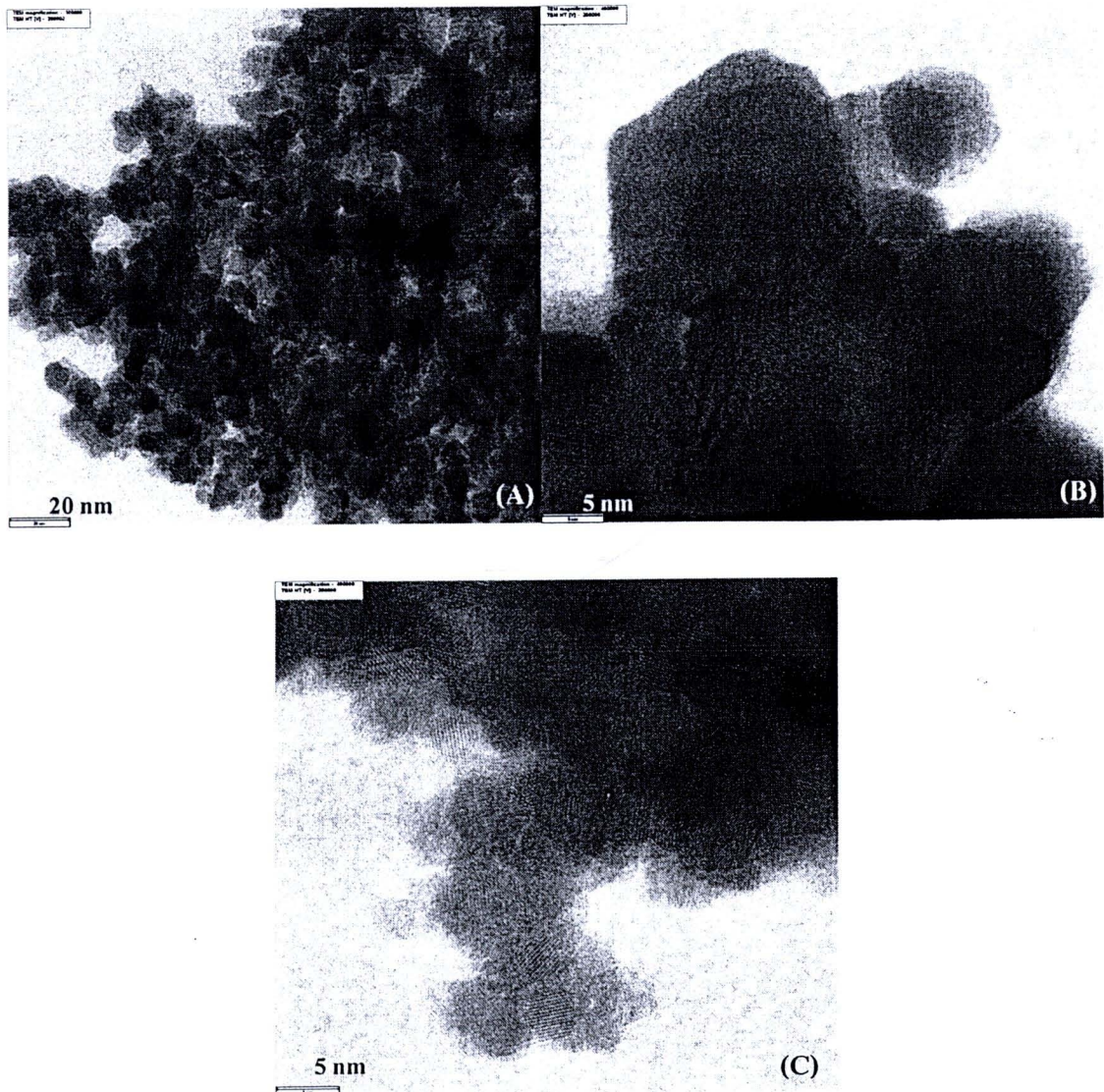
เมื่อนำอนุภาค Ni/CeO₂ ที่สังเคราะห์ได้ โดยใช้ (NH₄)₂Ce(NO₃)₆ เป็นแหล่งซีเรียม Ni(NO₃)₂.6H₂O เป็นแหล่งnickel ให้ผลดังแสดงในรูปที่ 4.4 จากผลที่ได้พบว่าอนุภาคของ Ni/CeO₂ ที่สังเคราะห์ได้มีขนาดอนุภาคเฉลี่ยเท่ากับ 6.42 นาโนเมตร



รูปที่ 4.4 TEM Photographs ลักษณะอนุภาค Ni/CeO₂ ที่สังเคราะห์โดยวิธีที่ 1 (A) กำลังขยาย 1×10^5 เท่า (B) กำลังขยาย 4×10^5 เท่า และ (C) กำลังขยาย 4×10^5 เท่า

ลักษณะอนุภาค Ni/CeO₂ ที่เตรียมตามวิธีที่ 2

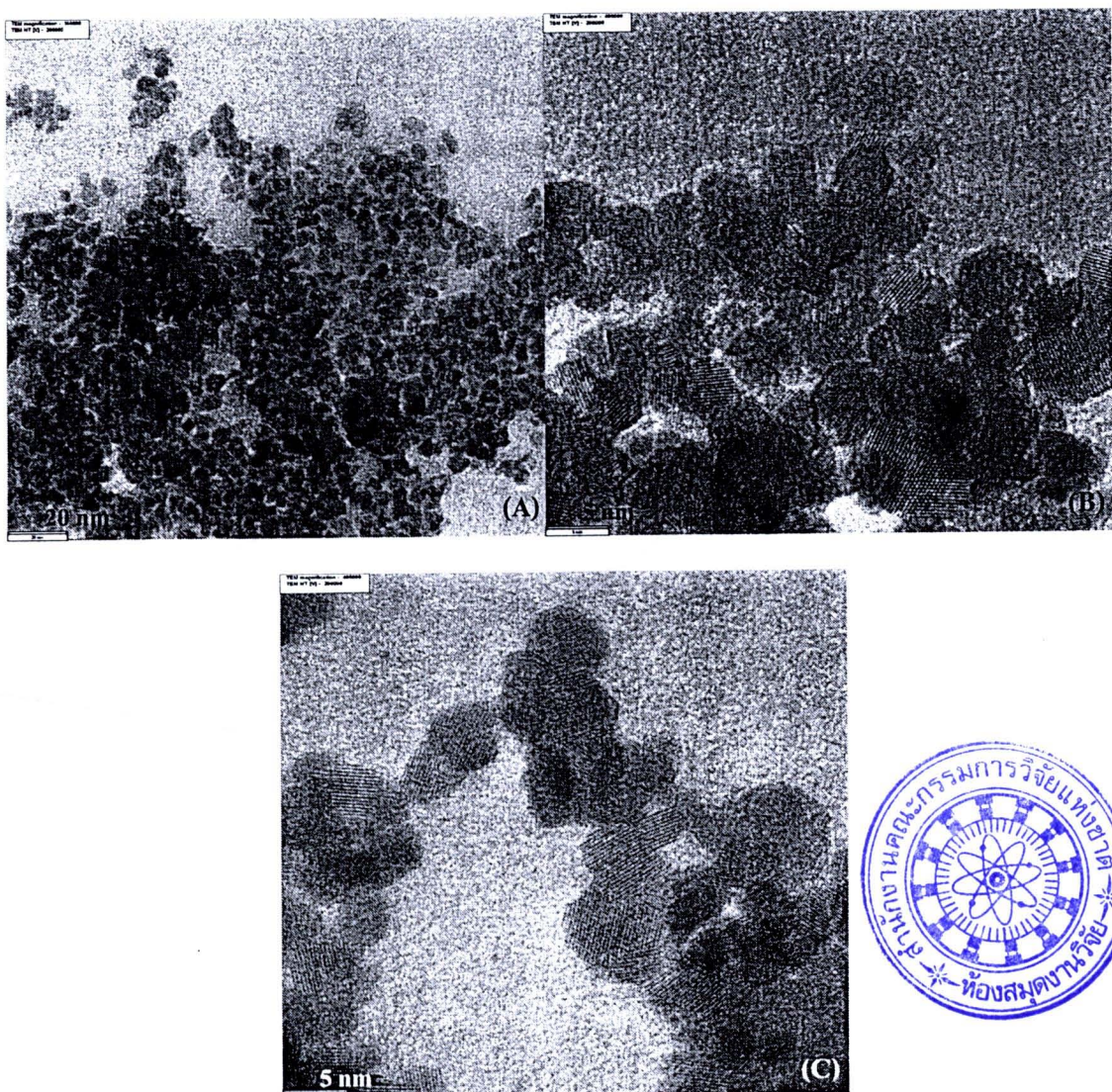
เมื่อนำอนุภาค Ni/CeO₂ ที่ได้จากการสังเคราะห์โดยวิธีที่ 2 ไปทำการวิเคราะห์อนุภาคโดยใช้เทคนิค TEM ทั้งนี้เพื่อเป็นการศึกษาวิธีการเติมโลหะว่องไว ที่มีผลต่อนุภาคของตัวเร่งปฏิกิริยาที่สังเคราะห์ได้ โดยใช้ $(\text{NH}_4)_2\text{Ce}(\text{NO}_3)_6$ เป็นแหล่งซึ่รียม $\text{Ni}(\text{NO}_3)_2 \cdot 6\text{H}_2\text{O}$ เป็นแหล่งนิกเกิล ให้ผลดังแสดงในรูปที่ 4.5 จากผลที่ได้พบว่าอนุภาคของ Ni/CeO₂ ที่สังเคราะห์ได้ โดยขนาดอนุภาคเฉลี่ยเท่ากับ 5.14 นาโนเมตร



รูปที่ 4.5 TEM Photographs ลักษณะอนุภาค Ni/CeO₂ ที่สังเคราะห์โดยวิธีที่ 2 (A) กำลังขยาย 1×10^5 เท่า (B) กำลังขยาย 4×10^5 เท่า และ (C) กำลังขยาย 4×10^5 เท่า

ลักษณะอนุภาค Ni/CeO₂ ที่เตรียมตามวิธีที่ 3

เมื่อนำอนุภาค Ni/CeO₂ ที่ได้จากการสังเคราะห์โดยวิธีที่ 3 ไปทำการวิเคราะห์อนุภาคโดยใช้เทคนิค TEM ทั้งนี้เพื่อเป็นการศึกษาวิธีการเดิมโดยหวังไว ที่มีผลต่อนุภาคของตัวเร่งปฏิกิริยาที่สังเคราะห์ได้ โดยใช้ $(\text{NH}_4)_2\text{Ce}(\text{NO}_3)_6$ เป็นแหล่งซีเรียม $\text{Ni}(\text{NO}_3)_2 \cdot 6\text{H}_2\text{O}$ เป็นแหล่งนิกเกิล ให้ผลดังแสดงในรูปที่ 4.8 – 4.9 จากผลที่ได้พบว่าอนุภาคของ Ni/CeO₂ ที่สังเคราะห์ได้ โดยขนาดอนุภาคของซีเรียมออกไซด์เฉลี่ยเท่ากับ 5.11 นาโนเมตร



รูปที่ 4.6 TEM Photographs ลักษณะอนุภาค Ni/CeO₂ ที่สังเคราะห์โดยวิธีที่ 3 (A) กำลังขยาย 1×10^5 เท่า (B) กำลังขยาย 4×10^5 เท่า และ (C) กำลังขยาย 4×10^5 เท่า

จากตารางที่ 4.1 ผลการคำนวณขนาดของผลึกจากการ X-ray diffraction (XRD) และค่าที่ประมาณได้จากการถ่าย TEM เป็นไปในทิศทางเดียวกันคือ Ni/CeO₂ ที่สังเคราะห์ได้จากวิธีที่ 3 ได้ขนาดของ CeO₂ เล็กที่สุดตามด้วยการสังเคราะห์โดยวิธีที่ 1 และวิธีที่ 2 ตามลำดับ แต่เมื่อเปรียบเทียบขนาดผลึกของออกไซด์โลหะว่องไว้ปรากฏการเตريยมตามวิธีที่ 2 ได้ขนาดเล็กที่สุดตามด้วยวิธีที่ 3 และวิธีที่ 1 ตามลำดับผลการทดลองดังกล่าวอธิบายได้ว่าการเตريยมตามวิธีที่ 2 นั้นหยดสารละลายนิกเกิลลงใน CEA ซึ่งทำให้การแยกอนุภาคของ Ni ก่อนที่จะไปจับตัวเกาะกับตัวรองรับซึ่งเรียบออกไซด์ ขณะที่วิธีที่ 3 ที่ได้ขนาดของผลึก NiO ใกล้เคียงกับวิธีที่ 2 ก็ เพราะมีการหยดสารละลายนิกเกิลลงใน CEA เช่นกัน แต่หยดสารละลายซึ่งเรียบก่อนแล้วตามด้วยสารละลายนิกเกิล

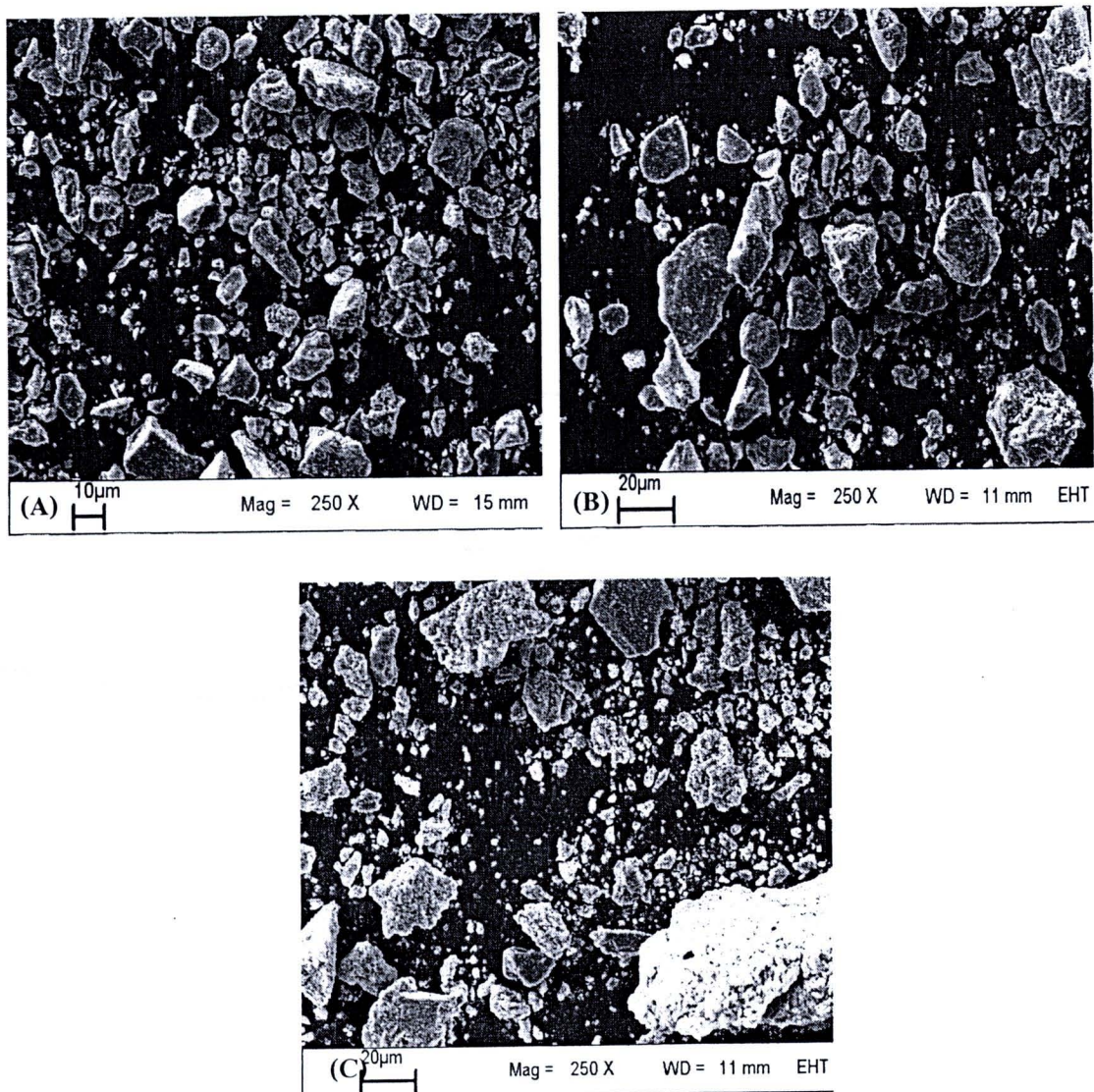
เมื่อเปรียบเทียบพื้นที่ผิวที่ได้จากการวิเคราะห์ด้วย BET กับเพื่อวิเคราะห์ค่าพื้นที่ผิว, Pore Volume และ Pore Size ของตัวเร่งปฏิกิริยาที่ได้จากการสังเคราะห์ทั้ง 3 วิธี ซึ่งตัวเร่งปฏิกิริยาที่คิดต้องมีพื้นที่ผิวสูง และปัจจุบันนี้ของซีเรียมออกไซด์คือมีพื้นที่ผิวต่ำเมื่อเทียบกับสารตัวอื่นๆ ยิ่งมีการเติมโลหะว่องไวลงไปจะทำให้พื้นที่ผิวลดลงไปอีก ซึ่งในการวิเคราะห์ BET ครั้งนี้ได้วิเคราะห์ Ni/CeO₂ ที่ได้จากการเตรียมของทั้ง 3 วิธีเปรียบเทียบกัน และเปรียบเทียบกับ CeO₂ ที่ไม่มีการเติมโลหะว่องไว ซึ่งผลการวิเคราะห์พบว่าวิธีที่ 1 ได้พื้นที่ผิวสูงสุดตามด้วยวิธีที่ 3 และวิธีที่ 2 ตามลำดับ ซึ่งจากการวิจัยที่ผ่านมา [8] การจุ่มตัวรองรับลงในสารละลายนิกเกลินน์ Ni จะปิดรูพรุนของตัวรองรับทำให้พื้นผิวลดลง ซึ่งวิธีที่ 1 เป็นลักษณะการจุ่มแบบเปียก ในขณะที่วิธีที่ 2 เป็นการจุ่มตัวรองรับลงใน CEA ที่มีอนุภาค Ni อยู่ ดังนั้นทำให้พื้นที่ผิวของตัวเร่งปฏิกิริยาตามการเตรียมวิธีที่ 2 ลดลงอย่างชัดเจนเมื่อเปรียบเทียบกับซีเรียมออกไซด์ที่ยังไม่มีการเติมโลหะว่องไว (Ni)

ตารางที่ 4.1 คุณลักษณะทางกายภาพของตัวเร่งปฏิกิริยาทั้ง 3 วิธี

Catalyst	% Ni	S _{BET} (m ² /g)	Vpore (cc/g)	Dpore (°A)	Particle Size (nm)	Crystal Size (nm)
CeO ₂	-	131.2	0.117	35.6	4.71	7.24
Ni/CeO ₂ วิธีที่ 1	10.0	118.6	0.1183	39.89	6.42	6.88
Ni/CeO ₂ วิธีที่ 2	9.1	89.64	0.1175	52.42	9.3	11.25
Ni/CeO ₂ วิธีที่ 3	9.9	117.40	0.1950	66.42	5.11	6.21

4.1.3 Scanning Electron Microscopy (SEM/EDXS)

เนื่องจากในการทดลองนี้ต้องการเตรียมตัวเร่งปฏิกิริยา Ni/CeO₂ แล้วนำไปทดสอบในกระบวนการ Steam Reforming ซึ่งการกระจายของนิกเกลินตัวรองรับจะมีผลต่อประสิทธิภาพในกระบวนการ Steam Reforming ยิ่งมีการกระจายตัวบนตัวรองรับดี [13] ตัวเร่งปฏิกิริยาที่จะมีประสิทธิภาพในการใช้งานดีไปด้วย ภาพถ่าย SEM ของตัวเร่งปฏิกิริยา Ni/CeO₂ จากทั้ง 3 วิธี แสดงดังรูปที่ 4.7 – 4.9



รูปที่ 4.7 SEM Photographs ลักษณะอนุภาค Ni/CeO₂ ที่สังเคราะห์โดยทั้ง 3 วิธี ที่กำลังขยาย 250 เท่า
 (A) วิธีที่ 1, (B) วิธีที่ 2, (C) วิธีที่ 3

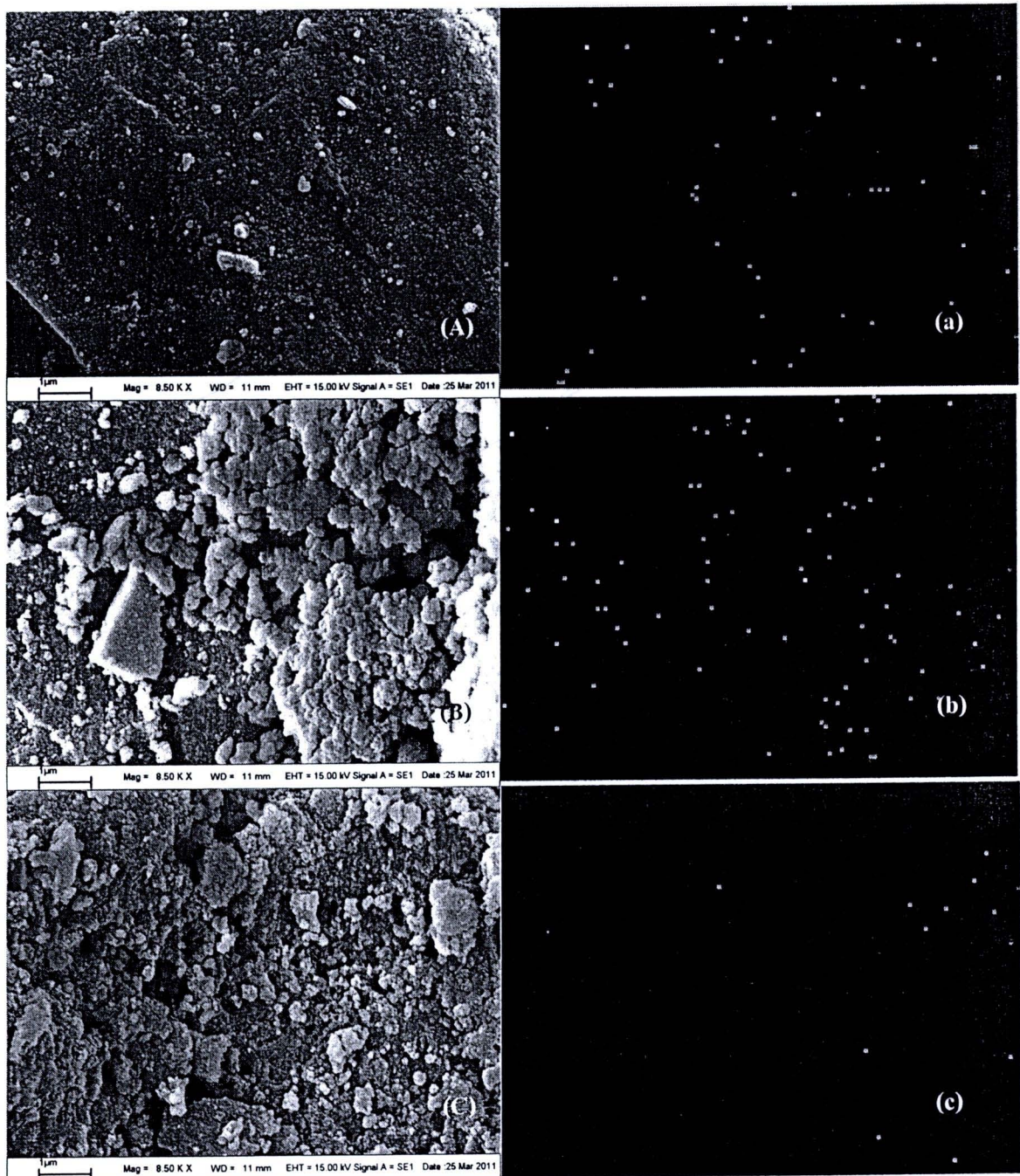
เมื่อพิจารณาจากรูปที่ 4.7 เป็นภาพถ่าย SEM ของตัวเร่งปฏิกิริยา Ni/CeO₂ ที่ได้จากทั้ง 3 วิธี พบว่าลักษณะพื้นผิวของตัวเร่งปฏิกิริยา Ni/CeO₂ ที่ได้จากวิธีที่ 3 มีความเป็นพรุนมากที่สุด ซึ่งวิธีที่ 3 เป็นการตกตะกอนร่วมระหว่างตัวรองรับและโลหะว่องไวใน CEA สอดคล้องกับผลของพื้นที่ผิวที่วิธีที่ 3 มีพื้นที่ผิวสูง

เมื่อพิจารณาจากรูปที่ 4.8-4.9 ซึ่งเป็นภาพถ่าย SEM และภาพการกระจายตัวของอนุภาคนิกเกิลบนผิwtตัวรองรับของตัวเร่งปฏิกิริยา Ni/CeO₂ ที่ได้จากทั้ง 3 วิธี ภาพจาก SEM/EDXS เป็นภาพส่องกระดาษที่พื้นผิวของตัวเร่งปฏิกิริยาพบว่าวิธีที่ 2 ปราศจากอนุภาคของนิกเกิลกระจายตัวบนพื้นผิวของ

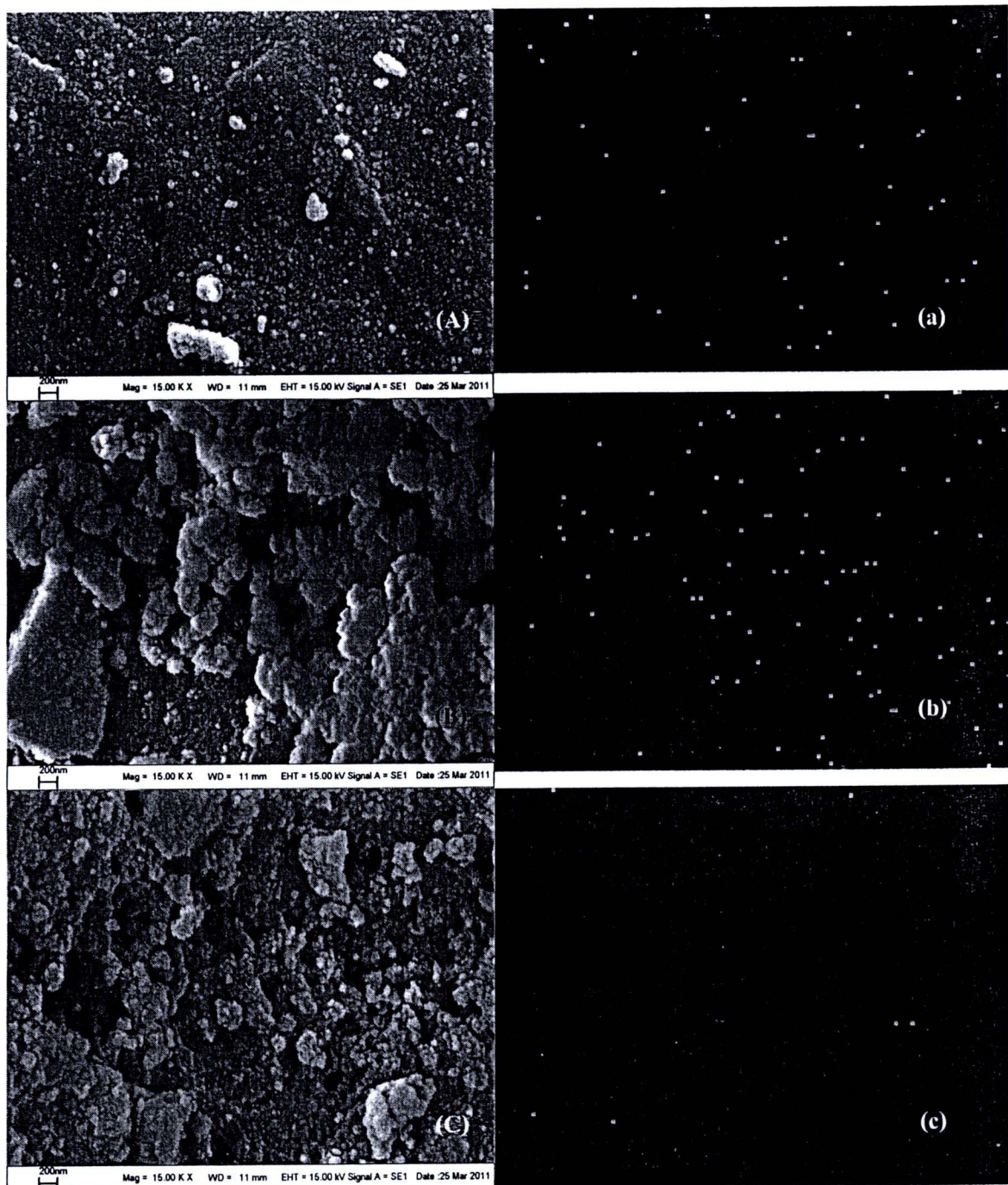
CeO_2 ดีที่สุดอย่างชัดเจนตามด้วยวิธีที่ 1 และวิธีที่ 3 ตามลำดับ ซึ่งมีความเป็นไปได้ที่ Ni/CeO_2 ที่ได้จากวิธีที่ 3 มีลักษณะพื้นผิวมีความพรุน และพื้นที่ผิวสูงกว่าวิธีที่ 2 แต่ด้วยการแยกและตกลงร่วมใน CEA อาจทำใหอนุภาคนิกเกิลถูกปักลุมด้วยผลึกของ CeO_2 ทำให้ภาพจาก SEM/EDXS ของอนุภาคนิกเกิลตรวจพบได้น้อยที่พื้นผิวของตัวเร่งปฏิกิริยา ซึ่งสอดคล้องกับผลตามตารางที่ 4.2 ปรากฏว่าปริมาณธาตุองค์ประกอบที่พื้นผิวตามภาพ SEM/EDXS ตัวเร่งปฏิกิริยา Ni/CeO_2 วิธีที่ 2 มีปริมาณนิกเกิลปรากฏที่ผิวสูงที่สุดตามด้วยวิธีที่ 1 และวิธีที่ 3 ตามลำดับ

ตารางที่ 4.2 ค่าเฉลี่ยของปริมาณธาตุองค์ประกอบ (%) โดยหนัก) จากภาพถ่าย SEM/EDXS ของตัวเร่งปฏิกิริยาทั้ง 3 วิธี

ชนิดของธาตุ	ปริมาณธาตุ(%) วิธีที่ 1	ปริมาณธาตุ(%) วิธีที่ 2	ปริมาณธาตุ(%) วิธีที่ 3
Ce	90.2	83.37	96.71
Ni	9.8	15.13	3.29



รูปที่ 4.8 SEM/EDXS Photographs (กำลังขยาย 8.5×10^3) (A) ลักษณะอนุภาค Ni/CeO₂ วิธีที่ 1, (a) การกระจายของอนุภาค Ni วิธีที่ 1, (B) ลักษณะอนุภาค Ni/CeO₂ วิธีที่ 2, (b) การกระจายของอนุภาค Ni วิธีที่ 2, (C) ลักษณะอนุภาค Ni/CeO₂ วิธีที่ 3, (c) การกระจายของอนุภาค Ni วิธีที่ 3



รูปที่ 4.9 SEM/EDXS Photographs (กำลังขยาย 15×10^3) (A) ลักษณะอนุภาค Ni/CeO₂ วิธีที่ 1, (a) การกระจายของอนุภาค Ni วิธีที่ 1, (B) ลักษณะอนุภาค Ni/CeO₂ วิธีที่ 2, (b) การกระจายของอนุภาค Ni วิธีที่ 2, (C) ลักษณะอนุภาค Ni/CeO₂ วิธีที่ 3, (c) การกระจายของอนุภาค Ni วิธีที่ 3

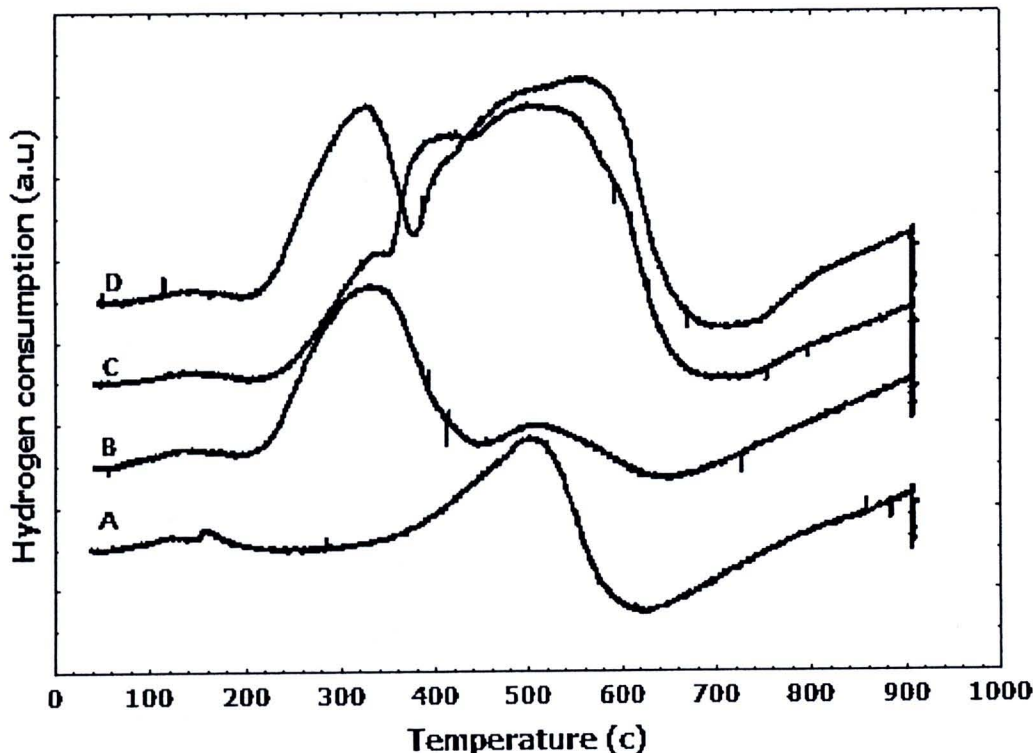


4.1.4 Temperature Programmed Reduction (TPR)

สำหรับประสิทธิภาพในการเกิด Redox property ของตัวเร่งปฏิกิริยาสามารถทำการตรวจสอบได้โดยเทคนิคการรีดักชันตามอุณหภูมิ (TPR) อาศัยหลักการคุณซับก๊าซ H_2 ของตัวเร่งปฏิกิริยาในการทดสอบใช้ตัวเร่งปฏิกิริยา 0.5 กรัมทำการผ่านแก๊ส N_2 และ H_2 อัตราการไหล 20 cm^3/min โดยให้ความร้อนแก่ตัวเร่งปฏิกิริยาด้วยอัตราการให้ความร้อนคงที่ $10^\circ C/min$ หยุดที่อุณหภูมิ $900^\circ C$ เป็นเวลา 240 min ผลที่ได้ดังแสดงในกราฟรูปที่ 4.10

จากรูปที่ 4.10 แสดงผลการวิเคราะห์ที่ได้จากเทคนิคการรีดักชันตามอุณหภูมิ (TPR) ที่โปรแกรมของตัวเร่งปฏิกิริยา Ni/CeO_2 ที่ได้จากทั้ง 3 วิธี พบว่าตัวเร่งปฏิกิริยา Ni/CeO_2 ที่เตรียมตามวิธีที่ 1 มีพิคที่เกิดจากการรีดักชัน 4 ตำแหน่ง คือที่อุณหภูมิ $144^\circ C$, $329^\circ C$, $503^\circ C$ และ $907^\circ C$ และตัวเร่งปฏิกิริยา Ni/CeO_2 ที่เตรียมตามวิธีที่ 2 มีพิคที่เกิดจากการรีดักชัน 3 ตำแหน่งคือที่อุณหภูมิ $132^\circ C$, $407^\circ C$, และ $906^\circ C$ ส่วนตัวเร่งปฏิกิริยา Ni/CeO_2 ที่เตรียมตามวิธีที่ 3 มีพิคที่เกิดจากการรีดักชัน 4 ตำแหน่งคือที่อุณหภูมิ $141^\circ C$, $325^\circ C$, $543^\circ C$ และ $906^\circ C$ ซึ่งที่อุณหภูมิตำ่เป็นการรีดักชันที่พื้นผิwtัวเร่งปฏิกิริยา จะเกิดการรีดักชันเปลี่ยนจาก NiO เป็น Ni ส่วนที่อุณหภูมิตรงกลางเป็นการแสดงถึงการทำอันตรายระหว่างโลหะว่องไวกับตัวองรับ และที่อุณหภูมิเป็นการรีดักในเนื้อของตัวเร่งปฏิกิริยา ที่อุณหภูมิตำ่ของตัวเร่งปฏิกิริยาจากทั้ง 3 วิธีพบว่าตัวเร่งปฏิกิริยาที่เตรียมตามวิธีที่ 2 มีอุณหภูมิการรีดักชันต่าที่สุดแสดงว่า NiO เกิดการรีดิวส์ง่ายที่สุด อันเนื่องมาจากการเติมโลหะตามวิธีที่ 2 นั้น โลหะนิกเกิลเกิดการกระจายที่ผิวของตัวองรับได้ดี และมีปริมาณโลหะว่องไวบนพื้นผิwtัวองรับมากเมื่อเทียบกับวิธีที่ 1 และวิธีที่ 3

เมื่อพิจารณาปริมาณค่า Hydrogen consumption จากตัวเร่งปฏิกิริยาทั้ง 4 พบว่าตัวเร่งปฏิกิริยา Ni/CeO_2 ที่เตรียมตามวิธีที่ 2 มีค่า Hydrogen consumption มากที่สุดรองลงมาคือวิธีที่ 3, วิธีที่ 1 และ CeO_2 ตามลำดับ ทั้งนี้อาจกล่าวได้ว่า Ni/CeO_2 ที่เตรียมได้ตามวิธีที่ 2 นั้นมีประสิทธิภาพในการเกิดปฏิกิริยา Redox property มากที่สุดเนื่องด้วยปริมาณ H_2 ที่ถูกใช้ไปจะเป็นตัวบ่งบอกถึงปริมาณ O_2 ที่อยู่ภายในตัวเร่งปฏิกิริยา หากปริมาณ H_2 ที่ใช้ไปมาก ปริมาณ O_2 กายในตัวเร่งปฏิกิริยาจะยิ่งมากนั้น หมายถึงการเกิด Redox property จะยิ่งสูงตามไปด้วย [15] ซึ่งเป็นผลดีต่อตัวเร่งปฏิกิริยาในการนำไปทดลองในกระบวนการ Steam reforming ด้วยมีเทน



รูปที่ 4.10 ผลการวิเคราะห์ที่ได้จากเทคนิคการรีดักชันตามอุณหภูมิที่โปรแกรมของตัวเร่งปฏิกิริยาที่ได้จากการเตรียมต่างกัน (A) CeO_2 , (B) Ni/CeO_2 วิธีที่ 1, (C) Ni/CeO_2 วิธีที่ 2, (D) Ni/CeO_2 วิธีที่ 3

4.1.5 ประสิทธิภาพของตัวเร่งปฏิกิริยาในการทดสอบในกระบวนการ Steam reforming ด้วยมีเทน

เพื่อศึกษาประสิทธิภาพของตัวเร่งปฏิกิริยาซึ่งเรียนรู้ไปที่มีการเติมโลหะว่องไวที่ได้รับจากการสังเคราะห์ทั้ง 3 วิธี เปรียบเทียบค่าเนินการคั่วของกระบวนการ Steam reforming ด้วยมีเทน ซึ่งสร้างระบบที่ใช้ในการทดลองโดยส่วนประกอบหลักคือเครื่องปฏิกิริย (Catalytic reactor) นอกจากนี้ยังนำระบบ Evaporator เข้ามาใช้เพื่อให้สามารถควบคุมอัตราการป้อนของมีเทนและนำเข้าสู่ระบบได้อย่างมีประสิทธิภาพ โดยอัตราส่วนมีเทนต่อน้ำ กำหนดที่ 1.0 ต่อ 3.0 โดยระบบจะถูกต่อ กับเครื่อง Gas Chromatography/Mass Spectrometer (GC-MS) เพื่อให้สามารถทำการวิเคราะห์องค์ประกอบของก๊าซผลิตภัณฑ์จากกระบวนการรีฟอร์ม มีจุดประสงค์เพื่อทราบว่าสามารถผลิตก๊าซชนิดใดออกมากได้ และประเมินสารตั้งต้นที่เหลือ และวัดค่า Carbon Formation ได้ผลการทดสอบดังนี้

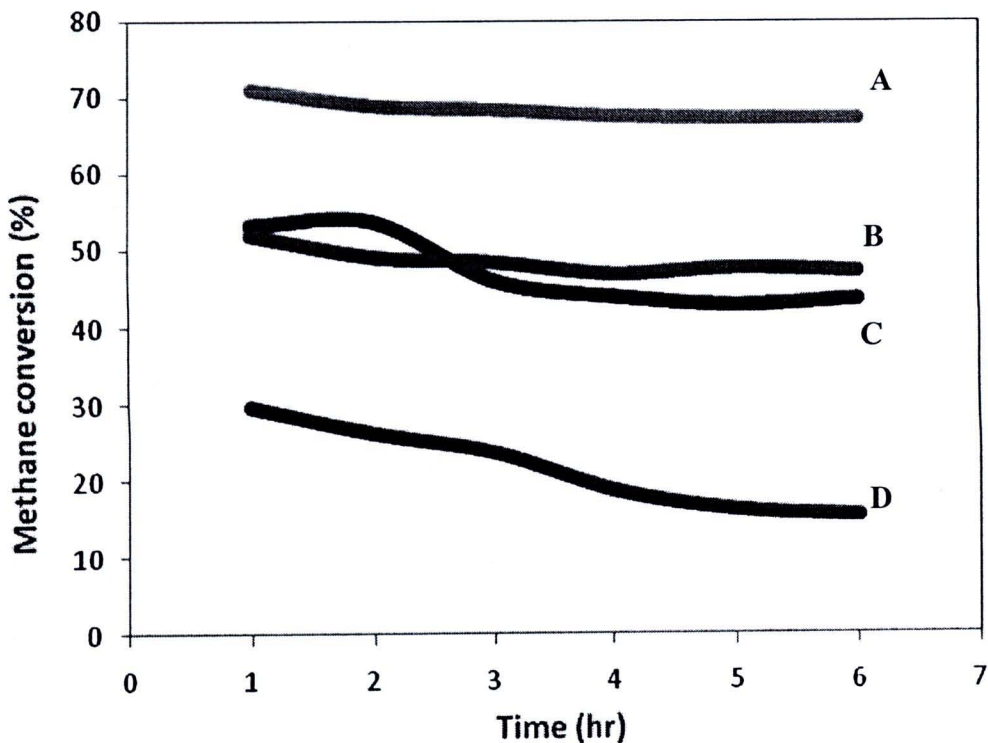
ตารางที่ 4.3 ค่า Methane Conversion และ Carbon formation จากการทดสอบ Steam reforming ด้วย มีเทน ของตัวเร่งปฏิกิริยาที่ได้จากการสังเคราะห์ทั้ง 3 วิธี

Catalyst	Methane Conversion (%)						Carbon formation (mmol/g)
	1h	2h	3h	4h	5h	6h	
Ni/CeO ₂ วิธีที่ 1	58.4	53.9	46.2	44.1	43	43.8	2.79
Ni/CeO ₂ วิธีที่ 2	71	68.9	68.4	67.5	67.3	67.2	1.92
Ni/CeO ₂ วิธีที่ 3	51.9	49.2	48.6	47.1	47.9	47.5	1.48
CeO ₂	29.8	26.4	23.9	18.9	16.4	15.6	0.519

จากผลทดสอบในกระบวนการ Steam reforming มีเทนด้วยน้ำตามตารางที่ 4.2 และรูปที่ 4.11 ปรากฏว่า Ni/CeO₂ ที่เตรียมด้วยวิธีที่ 2 มีค่า Methane Conversion สูงที่สุดตามด้วยวิธีที่ 3, วิธีที่ 1 และ CeO₂ ตามลำดับ ซึ่งจากการวิจัยที่ผ่านมา [8] S. Nassos และคณะได้เตรียมตัวเร่งปฏิกิริyanikเกิด Support บนตัวรองรับ CeLaO₃ โดยมีการเติมโลหะว่องไว Ni ลงบนตัวรองรับในวิธีการที่แตกต่างกัน คือจุ่มตัวรองรับลงในสารละลายนิกเกิลกับการให้สารละลายนิกเกิลตกลงก่อนร่วมในไนโตรอินัลชั่น พร้อมกับตัวรองรับ ซึ่งสอดคล้องกับการทดลองครั้งนี้ตามวิธีการที่ 2 กับวิธีที่ 3 ซึ่งเปรียบเทียบ คุณลักษณะของตัวเร่งปฏิกิริยาอาทิเช่น พื้นที่ผิว ขนาดอนุภาค การเตรียมโดยโลหะว่องไวตกลงก่อนร่วมกับตัวรองรับ (วิธีที่ 3) มีคุณลักษณะทางกายภาพดีกว่าการจุ่มตัวรองรับลงในสารละลายนิกเกิล CEA ที่มีอนุภาค Ni อยู่แต่เมื่อเปรียบเทียบค่า Methane Conversion ปรากฏว่าวิธีที่ 2 ให้ค่า Methane Conversion ดีกว่า ซึ่ง [8] S. Nassos และคณะอธิบายไว้ว่าการตกลงก่อนร่วมของโลหะว่องไวกับตัวรองรับในไนโตรอินัลชั่น จะได้พื้นที่ผิวสูง ขนาดอนุภาคเล็กกว่าและสามารถลดเวลาการกระจายตัวของโลหะว่องไว บนตัวรองรับนั้นกระจายตัวได้ไม่ดีเท่าการจุ่มลงในสารละลายนิกเกิลที่มีโลหะว่องไว เนื่องจากการทำปฏิกิริยาของตัวเร่งปฏิกิริยาที่อุณหภูมิสูงนั้นพื้นที่ผิวและการกระจายตัวของโลหะว่องไวบนตัวรองรับ มีผลอย่างสูงต่อการทำปฏิกิริยา [23] สำหรับค่า Carbon formation ที่ได้ปรากฏว่าเมื่อเปรียบเทียบทั้ง 3 วิธี พบร่วมกับวิธีที่ 3 มีค่า Carbon formation ต่ำสุดตามด้วยวิธีที่ 2 และวิธีที่ 1 ตามลำดับซึ่งสอดคล้องกับงานวิจัยของ ธนพล ปาลิกานนท์และคณะ[15], YongLi [6]

นอกจากนี้ผลที่ได้จาก Temperature Programmed Reduction (TPR) ซึ่งแสดงคุณสมบัติ Redox property ของตัวเร่งปฏิกิริยาในการปลดปล่อยออกซิเจนกับสอดคล้องกับค่า Methane Conversion จากกระบวนการ Steam reforming มีเทนด้วยน้ำ สำหรับค่า Carbon formation จะสัมพันธ์

กับขนาดอนุภาคและพื้นที่ผิวของตัวเร่งปฏิกิริยาคือยิ่งตัวเร่งปฏิกิริยามีขนาดอนุภาคเล็กและมีพื้นที่ผิวสูงก็ยิ่งมีประสิทธิภาพในการทนต่อการเกิด Carbon formation ตามไปด้วย



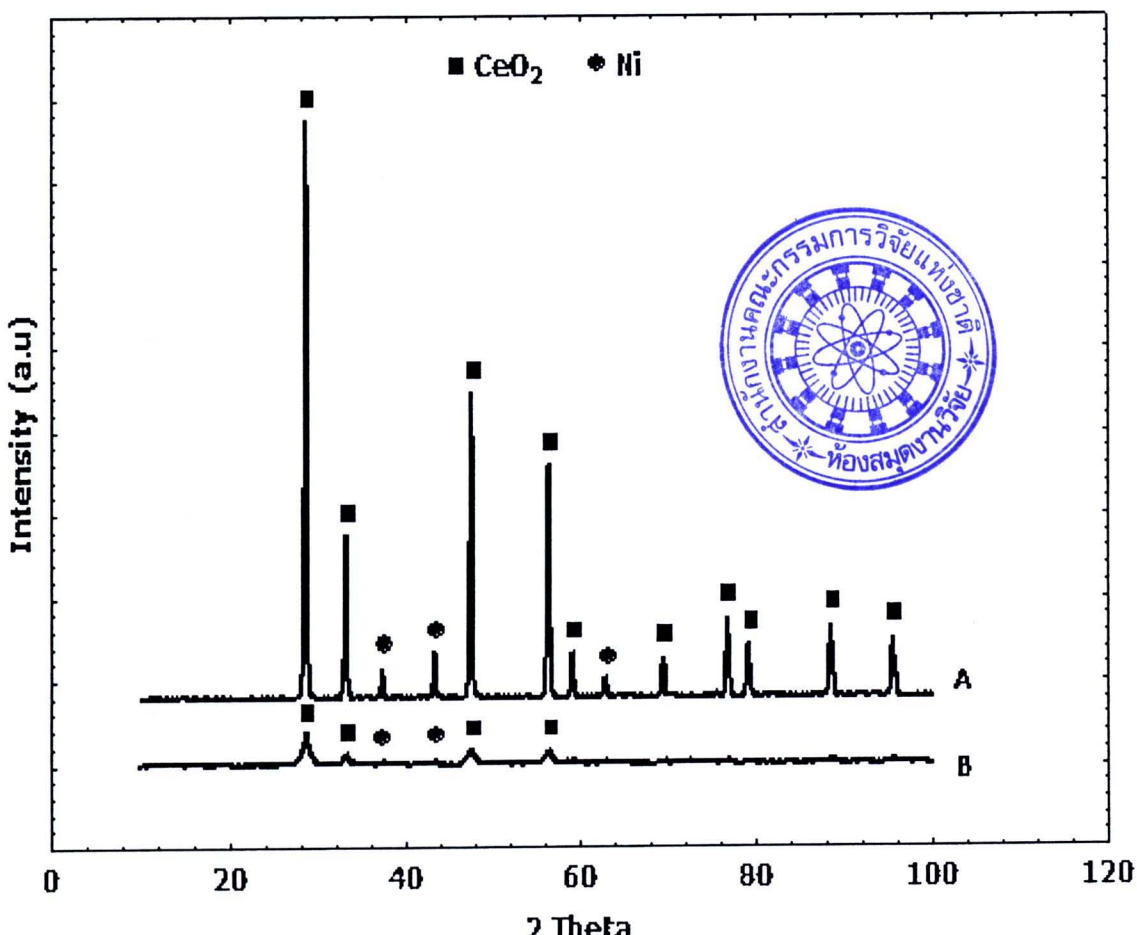
รูปที่ 4.11 ค่า Methane Conversion จากการทดสอบ Steam reforming มีเทนด้วยน้ำ เป็นเวลา 6 hr ที่ อุณหภูมิ 900°C ของตัวเร่งปฏิกิริยา Ni/CeO₂ และ CeO₂ (A) Method 2, (B) Method 3, (C) Method 1, (D) CeO₂

4.2 อิทธิพลอุณหภูมิของการแคลไชด์

เมื่อได้วิธีในการสังเคราะห์ที่เรียบง่ายกว่าที่มีการเติมโลหะว่องไวที่เหมาะสมตามข้อ 3.3.1 จากแคลไชน์ที่ 500°C เปลี่ยนเป็นแคลไชด์ที่ 900°C เป็นเวลา 3 ชั่วโมง โดยการเติมนิกเกิลเป็น 5% โดยน้ำหนักในการทดสอบในกระบวนการ Steam reforming ทดสอบที่อุณหภูมิ 900°C ซึ่งได้ผลคุณลักษณะของตัวเร่งปฏิกิริยา Ni/CeO₂ และเปรียบเทียบกับ Ni/Al₂O₃ ซึ่งเตรียมตามวิธีที่ 2 (5 wt.%Ni) โดยใช้ตัวรองรับ Al₂O₃ ที่มีการใช้งานทั่วไปในเชิงพาณิชย์

4.2.1 X-ray diffraction (XRD)

สำหรับการวิเคราะห์กราฟ XRD สามารถทำได้โดยเปรียบเทียบกราฟ XRD ที่ได้กับกราฟรูปแบบมาตรฐาน โดยในแกนตั้งแสดงถึงความเข้มของพีคซึ่งมีความสัมพันธ์กับปริมาณผลึกที่เป็นองค์ประกอบในตัวเร่งปฏิกิริยา และแกนนอนแสดงค่ามุม 2-Theta ซึ่งให้ผลการวิเคราะห์ดังรูปที่ 4.12



รูปที่ 4.12 ผลการวิเคราะห์ที่ได้จากเทคนิคการเลี้ยงแบบของรังสีเอ็กซ์ของตัวเร่งปฏิกริยาที่อุณหภูมิ การแคลไชด์ต่างกัน (A) 900°C , (B) 500°C

จากรูปที่ 4.12 แสดงผลการวิเคราะห์ผลจาก X-ray diffraction ปรากฏว่าตำแหน่งที่มีพีค เกิดขึ้นนั้นตรงตาม Standard ทุกตำแหน่งและมีโครงสร้างผลลัพธ์แบบ Face center cubic แต่การแคลไชด์ที่อุณหภูมิ 900°C ปราศพิเศษมีความชัดเจนกว่าการแคลไชด์ที่ 500°C ซึ่งสามารถบ่งบอกได้ว่า ผลลัพธ์ของตัวเร่งปฏิกริยามีโอกาสที่จะมีขนาดใหญ่ขึ้นเนื่องจากการหลอมรวมตัว เมื่อเปรียบเทียบกับ การแคลไชด์ที่ 500°C ซึ่งถ้าผลลัพธ์มีขนาดใหญ่ พื้นที่ผิวจะต่ำลง สอดคล้องผลจาก BET ตามตารางที่ 4.4

เมื่อพิจารณาตามตารางที่ 4.4 ซึ่งแสดงคุณลักษณะทางกายภาพของตัวเร่งปฏิกริยา Ni/CeO_2 และ $\text{Ni}/\text{Al}_2\text{O}_3$ พบว่าเมื่อเพิ่มอุณหภูมิของการแคลไชด์จาก 500°C เป็น 900°C พื้นที่ผิวและปริมาตรรู พรุนจะลดลง ขนาดผลลัพธ์ใหญ่ขึ้นซึ่งเป็นผลมาจากการเกิดการหลอมรวมตัวของซีเรียมออกไซด์ ซึ่งถือ เป็นข้อด้อยอย่างหนึ่งของซีเรียมออกไซด์ คือเกิดการหลอมตัวง่ายเมื่อแคลไชด์ที่อุณหภูมิสูง เมื่อเปรียบเทียบกับ $\text{Ni}/\text{Al}_2\text{O}_3$ ที่เตรียมตามวิธีการเดียวกัน โดยตัวรองรับอัลูминัที่มีใช้ในอุตสาหกรรม

พบว่าพื้นที่ผิวและปริมาตรรูพรุนของ Ni/CeO_2 น้อยกว่า เช่นกัน แต่ข้อดีของตัวองรับซึ่งเรียม叫做ไซด์ มีคุณสมบัติ Redox property คือและต้านทานการเกิด Carbon formation ดีกว่า $\text{Ni/Al}_2\text{O}_3$ [16] ซึ่งเป็นประโยชน์ในการนำไปใช้งานในกระบวนการ Steam reforming ด้วยมีเทน

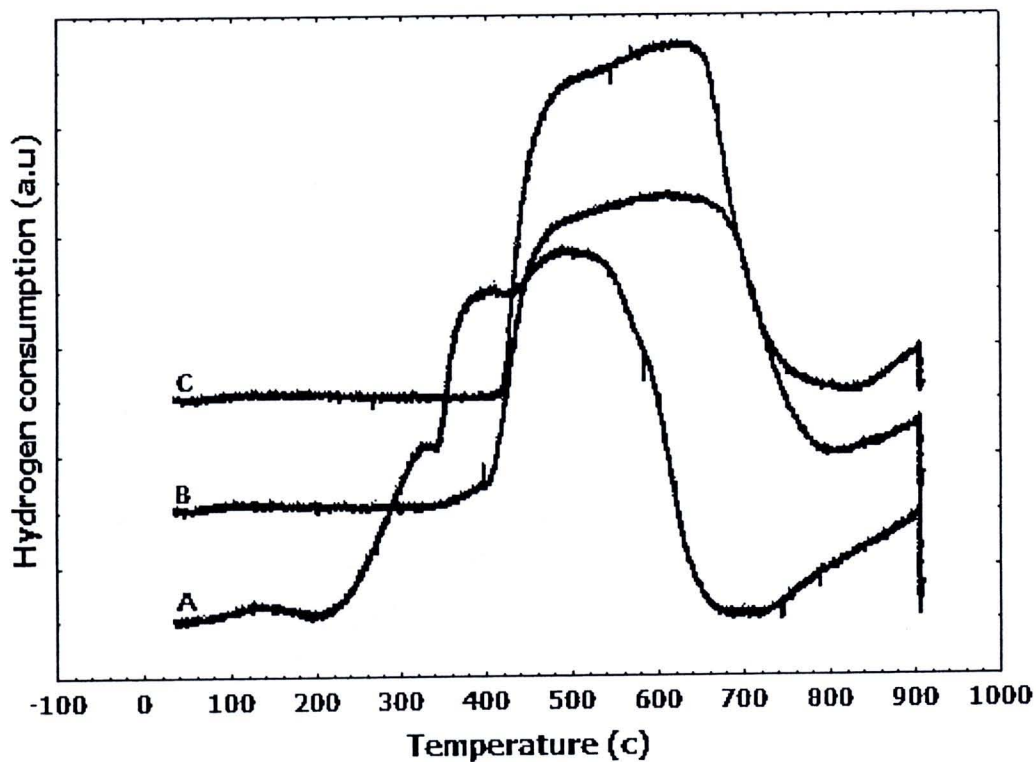
ตารางที่ 4.4 คุณลักษณะทางกายภาพของตัวเร่งปฏิกิริยา แคลไชด์ที่อุณหภูมิ 900°C

Catalyst	S_{BET} (m^2/g)	V pore (cm^3/g)	D pore ($^\circ\text{A}$)	Crystal Size (nm)
Ni/CeO_2 (500°C)	89.64	0.1175	52.42	10.911
Ni/CeO_2 (900°C)	23.71	0.0566	95.51	25.87
$\text{Ni/Al}_2\text{O}_3$ (900°C)	73.59	0.2002	108.80	-

4.2.2 Temperature Programmed Reduction (TPR)

จากรูปที่ 4.13 แสดงผลการวิเคราะห์ที่ได้จากเทคนิคการรีดักชันตามอุณหภูมิ (TPR) ที่โปรแกรมของตัวเร่งปฏิกิริยา Ni/CeO_2 ที่แคลไชด์ที่อุณหภูมิ 500°C , 900°C และตัวเร่งปฏิกิริยา $\text{Ni/Al}_2\text{O}_3$ (900°C) ตัวเร่งปฏิกิริยา Ni/CeO_2 (500°C) มีพีคที่เกิดจากการรีดักชัน 3 ตำแหน่งคือที่ อุณหภูมิ 132°C , 407°C และ 906°C ส่วนตัวเร่งปฏิกิริยา Ni/CeO_2 (900°C) มีพีคที่เกิดจากการรีดักชัน 2 ตำแหน่งคือที่อุณหภูมิ 611°C และ 906°C ตัวเร่งปฏิกิริยา $\text{Ni/Al}_2\text{O}_3$ (900°C) มีพีคที่เกิดจากการรีดักชัน 2 ตำแหน่งคือที่อุณหภูมิ 623°C และ 906°C โดยที่อุณหภูมิต่ำเป็นการรีดักชันที่พื้นผิวของตัวเร่งปฏิกิริยา ที่อุณหภูมิสูงเป็นการรีดักชันในเนื้อของตัวเร่งปฏิกิริยา

เมื่อเปรียบเทียบระหว่าง Ni/CeO_2 (500°C) กับ Ni/CeO_2 (900°C) พบว่าพีคของการรีดักชนมีความแตกต่างกันทั้งตำแหน่งและอุณหภูมิของการรีดักชัน ซึ่งตัวเร่งปฏิกิริยา Ni/CeO_2 (500°C) ที่ อุณหภูมิ 132°C เป็นการรีดักชันจาก NiO ไปเป็น Ni ที่พื้นผิวของตัวเร่งปฏิกิริยา ในขณะที่ Ni/CeO_2 (900°C) ปรากฏพีคของการรีดักชันเพียงสองพีคคือที่อุณหภูมิ 611°C และ 906°C ซึ่งพีคแรกที่อุณหภูมิ 611°C เป็นการรีดักชันที่พื้นผิวของตัวเร่งปฏิกิริยาและที่อุณหภูมิสูงเป็นการรีดักในเนื้อของตัวเร่งปฏิกิริยา เป็นการแสดงถึงการทำอันตรกิริยาระหว่างโลหะนิกเกลกับตัวองรับ ซึ่งแสดงว่าเมื่อมีการแคลไชด์ที่อุณหภูมิสูงจะทำให้โลหะว่องไวเกิดการหลอมรวมกับตัวองรับกลายเป็นสารละลายของแข็ง (Solid Solution) มีความแข็งแรงสูงในการทำอันตรกิริยาระหว่างโลหะว่องไวกับตัวองรับ และทำให้เกิดการรีดักชันที่อุณหภูมิสูงขึ้น



รูปที่ 4.13 ผลการวิเคราะห์ที่ได้จากเทคนิคการรีดักชันตามอุณหภูมิที่โปรแกรมของตัวเร่งปฏิกิริยาที่ได้จากการแคลไชค์ที่อุณหภูมิต่างกัน A=Ni/CeO₂ (500°C), B=Ni/CeO₂ (900°C) และ C=Ni/Al₂O₃ (900°C)

เมื่อพิจารณาการเกิด Redox property จากค่า Hydrogen consumption ปรากฏว่าที่แคลไชค์ 900°C มีค่าสูงกว่า ซึ่งในการทดสอบในกระบวนการ Methane steam reforming จะทดสอบที่อุณหภูมิ 900°C นั้น ซึ่ง Ni/CeO₂ (500°C) มีโอกาสสูงที่จะเกิดการ Sintering ซึ่งทำให้ประสิทธิภาพในการเป็นตัวเร่งปฏิกิริยาลดลง สำหรับ Ni/CeO₂ (900°C) กับ Ni/Al₂O₃ (900°C) ประสิทธิภาพในการเกิด Redox property Ni/CeO₂ มีคุณสมบัติในการเกิด Redox property ได้ดีกว่า Ni/Al₂O₃ ถึงแม้ Ni/CeO₂ มีพื้นผิวต่ำกว่า ดังแสดงในรูปที่ 4.12, 4.13 ซึ่งการมีคุณสมบัติในการเกิด Redox property ที่ดีจะเป็นผลดีในการนำไปใช้งานกระบวนการ Methane steam reforming [15]

4.2.3 ประสิทธิภาพของตัวเร่งปฏิกิริยาในการทดสอบในกระบวนการ Steam reforming ด้วยมีเทน

เพื่อศึกษาประสิทธิภาพของตัวเร่งปฏิกิริยา Ni/CeO₂ ซึ่งเตรียมตามวิธีที่ 2 แต่แคลไชค์ที่ อุณหภูมิ 500°C และ 900°C เนื่องจากในการทดสอบประสิทธิภาพนั้นทดสอบที่อุณหภูมิ 900°C เมื่อ พิจารณาค่าตามตารางที่ 4.4 ปรากฏว่าการที่ค่า CH₄ Conversion ของตัวเร่งปฏิกิริยา Ni/CeO₂ แคลไชค์

ที่อุณหภูมิ 500°C ต่ำกว่าตัวเร่งปฏิกิริยา Ni/CeO_2 แคลไไซด์ที่อุณหภูมิ 900°C เพราะ Ni/CeO_2 (500°C) เมื่อนำไปทดสอบในกระบวนการรีฟอร์มมิ่งที่อุณหภูมิ 900°C ทำให้ตัวเร่งปฏิกิริยาเกิดการหลอมรวมพื้นที่ผิวที่จะลดลง ซึ่งพื้นที่ผิวของตัวเร่งปฏิกิริยาเป็นปัจจัยหนึ่งที่มีผลต่อประสิทธิภาพของตัวเร่งปฏิกิริยา ซึ่งถ้าตัวรองรับมีพื้นที่ผิวสูง [9][11] ก็จะส่งผลดีต่อการกระจายตัวของโลหะว่องไว ซึ่งจะทำให้โลหะว่องไวมีการกระจายตัวดีตามไปด้วย ซึ่งจะส่งผลดีต่อประสิทธิภาพของตัวเร่งปฏิกิริยาด้วย

เมื่อพิจารณา Ni/CeO_2 (900°C) กับ $\text{Ni}/\text{Al}_2\text{O}_3$ (900°C) ค่ามีเทน Conversion ของ Ni/CeO_2 สูงกว่า ถึงแม้พื้นที่ผิวของ Ni/CeO_2 (900°C) ต่ำกว่า แต่ค่า Carbon formation กลับสูงกว่าซึ่งเป็นข้อดีของตัวรองรับซึ่งเริ่มออกไซด์ ซึ่งเป็นผลจากคุณสมบัติทางด้าน Redox property ตามรูปที่ 4.13 และปัญหาการก่อตัวของคาร์บอนที่สูงใน $\text{Ni}/\text{Al}_2\text{O}_3$ เป็นข้อด้อยอย่างหนึ่งของตัวรองรับ Al_2O_3 [16]

ตารางที่ 4.5 ค่า Methane Conversion และ Carbon formation จากการทดสอบ Methane Steam reforming

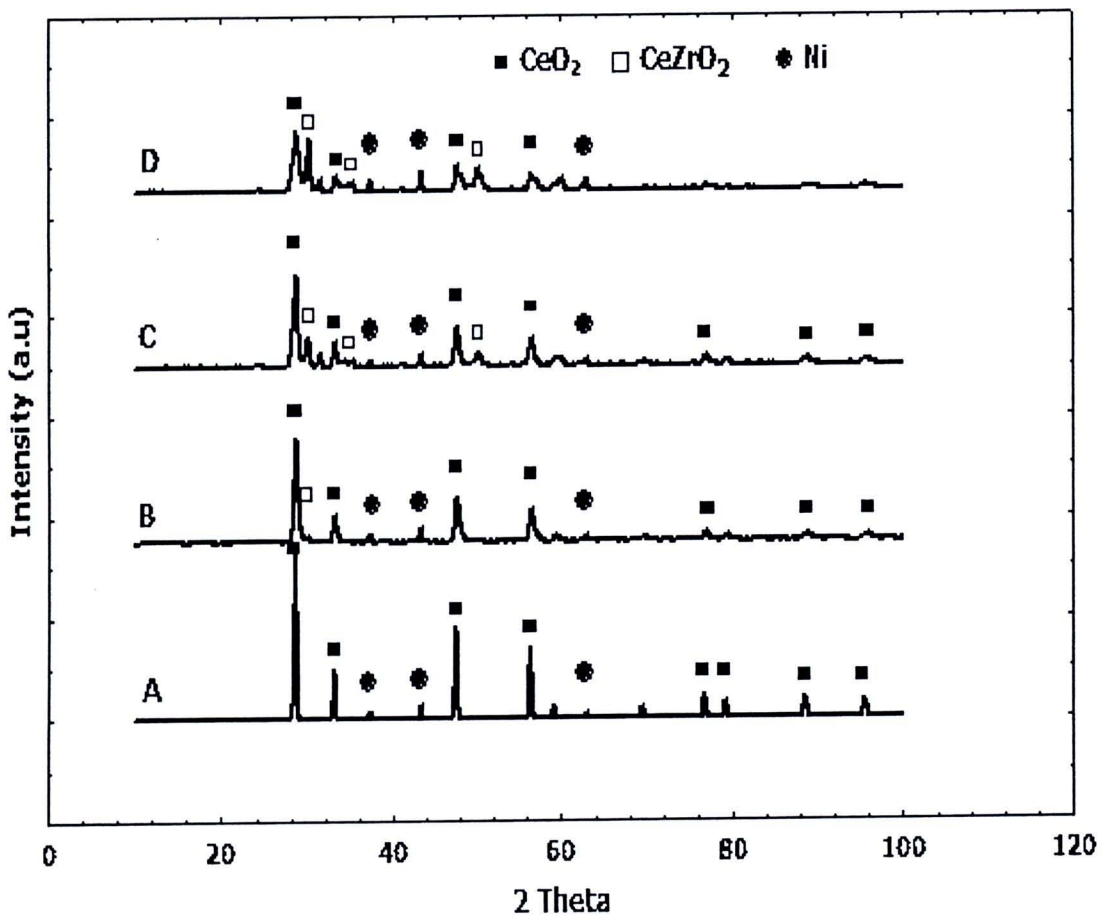
Catalyst	% H ₂	H ₂ /CO	CH ₄ Conversion	Carbon formation
Ni/CeO_2 (500°C)	-	-	67.2	1.92
Ni/CeO_2 (900°C)	77.4	4.14	71.3	0.14
$\text{Ni}/\text{Al}_2\text{O}_3$ (900°C)	85.6	3.62	49.6	0.8

4.3 อิทธิพลของตัวรองรับออกไซด์ร่วม

เนื่องจากปัญหานี้ของซีเริ่มออกไซด์ในการใช้เป็นตัวรองรับคือการ Sintering ได้ง่ายที่อุณหภูมิสูงถึงแม้จะมีคุณสมบัติที่ดีใน Redox property ก็ตามแต่ในการใช้งานที่อุณหภูมิสูงก็จะเป็นปัญหาเมื่อตัวเร่งปฏิกิริยาเกิดการหลอมตัวได้ง่าย ทำให้พื้นที่ผิวลดลงและส่งผลให้ประสิทธิภาพในการเป็นตัวเร่งปฏิกิริยาต่ำไปด้วย ซึ่งการเติมเซอร์โคเนียมจะช่วยในการเพิ่มความแข็งแรงให้กับตัวรองรับ [10][15][16] ทำการทดลองโดยสังเคราะห์ Ce-ZrO₂ ด้วยวิธีการตกตะกอนร่วมใน CEA ตามวิธีที่ 3 (ตามหัวข้อที่ 3.3.1) และเติมโลหะนิกเกิล (5%wt.) ตามการเตรียมวิธีที่ 2 ซึ่งมีผลการทดลองดังนี้

4.3.1 X-ray diffraction (XRD)

เมื่อนำอนุภาค Ni/Ce-ZrO₂ ที่ได้จากการสังเคราะห์ไปวิเคราะห์ด้วยเทคนิคการเลี้ยวเบนของรังสีเอ็กซ์ (X-ray Diffraction; XRD) จะได้กราฟ Diffractogram ของสารตัวอย่าง ซึ่งสามารถบอกถึงเฟสของซีเรียมออกไซด์ (CeO₂) เฟสของ Ce-ZrO₂ และเฟสของnickelเกล (Ni) บนตัวเร่งปฏิกิริยาได้ ใน การทดลองผลของตัวองรับออกไซด์ร่วม แบ่งการสังเคราะห์ Ce-ZrO₂ เป็น 3 อัตราส่วน โนลาร์ คือ 3/1, 1/1, 1/3 ซึ่งผลการทดลองในรูปที่ 4.15 แสดงผลการวิเคราะห์ตัวเร่งปฏิกิริยา Ni/Ce-ZrO₂[3/1], Ni/Ce-ZrO₂[1/1], Ni/Ce-ZrO₂[1/3] ด้วยเทคนิค XRD เปรียบเทียบกับตัวเร่งปฏิกิริยา Ni/CeO₂ พบว่า ตัวเร่งปฏิกิริยาที่มีเซอร์โคเนียมเป็นออกไซด์ร่วมปรากฏให้เห็นเฟสของ CeO₂ และ NiO อย่างชัดเจน [21] และปรากฏเฟสของสารละลายของแข็ง ZrCeO₂ มีความชัดเจนตามสัดส่วนของเซอร์โคเนียม ซึ่ง สัดส่วน 1/3 เฟสของ ZrCeO₂ มีความชัดเจนมากที่สุดตามด้วย สัดส่วน 1/1 และ 3/1 ตามลำดับ โดย โครงสร้างพล็อกของ ZrCeO₂ เป็นแบบ Tetragonal



รูปที่ 4.14 ผลการวิเคราะห์ที่ได้จากการเทคนิคการเลี้ยวเบนของรังสีเอ็กซ์ของตัวเร่งปฏิกิริยาตัวองรับออกไซด์ร่วม (Ce-ZrO₂) (A) Ni/CeO₂, (B) Ni/Ce-Zr[3/1], (C) Ni/Ce-Zr[1/1], (D) Ni/Ce-Zr[1/3]

อย่างไรก็ตามเมื่อเติมเซอร์โโคเนียมเป็นตัวรองรับร่วม ความสูงของพื้นที่ป্রากฎจากผล XRD ตามรูปที่ 4.14 จะลดลงไม่แหนบคณเมื่อเปรียบเทียบกับตัวเร่งปฏิกิริยา Ni/CeO₂ และการป্রากฎพื้นของ ZrO₂ ในตัวเร่งปฏิกิริยาที่มีการเติมเซอร์โโคเนียม มีข้อเสนอว่าเกิดจากการที่ ZrO₂ เข้าไปรวมกับ CeO₂ เป็นสารละลายของแข็ง [10] ซึ่งป্রากฎชั้นเงินที่สุดที่อัตราส่วน 1/3 ขณะเดียวกันพื้นของตัวเร่งปฏิกิริยาที่มีการเติมเซอร์โโคเนียมจากผลของ XRD หมุน 2-Theta ของพื้นจะเลื่อนสูงขึ้นเนื่องจากเกิดการแทนที่ของ Ce⁴⁺ ด้วย Zr⁴⁺ ซึ่งมีขนาดรัศมีไอออนเล็กกว่า [23]

เมื่อพิจารณาคุณลักษณะของตัวเร่งปฏิกิริยาตามตารางที่ 4.3 และตามรูปที่ 4.14 พบว่าเมื่อมีการเติมเซอร์โโคเนียมเป็นตัวรองรับออกไซด์ร่วม จะได้เป็นสารละลายของแข็ง (Solid solution) ที่มีความแข็งแรงมากขึ้น เกิดการหลอมรวมได้ยากขึ้น ทำให้พื้นที่ผิวของตัวเร่งปฏิกิริยาเพิ่มขึ้น ขนาดผลึกเล็กลงเมื่อเปรียบเทียบกับตัวเร่งปฏิกิริยา Ni/CeO₂ ที่แคลไไซด์ที่อุณหภูมิ 900°C ยิ่งสัดส่วนของเซอร์โโคเนียมมาก ก็จะยิ่งเพิ่มความแข็งแรงให้กับตัวเร่งปฏิกิริยา

ตารางที่ 4.6 คุณลักษณะทางกายภาพของตัวเร่งปฏิกิริยาที่มีการเติมเซอร์โโคเนียม

Catalyst	S _{BET} (m ² /g)	Vpore (cc/g)	Dpore (Å)	Crystal Size (CeO ₂ , nm)	Crystal Size (CeZrO ₂ , nm)
Ni/CeO ₂	23.71	0.0566	95.51	25.87	-
Ni/Ce-Zr[1/3]	135.90	0.1628	47.91	11.59	19.23
Ni/Ce-Zr[1/1]	67.05	0.2237	133.5	14.15	15.98
Ni/Ce-Zr[3/1]	81.83	0.2251	110.0	16.58	15.85
Ni/Al ₂ O ₃	73.59	0.2002	108.80	-	-

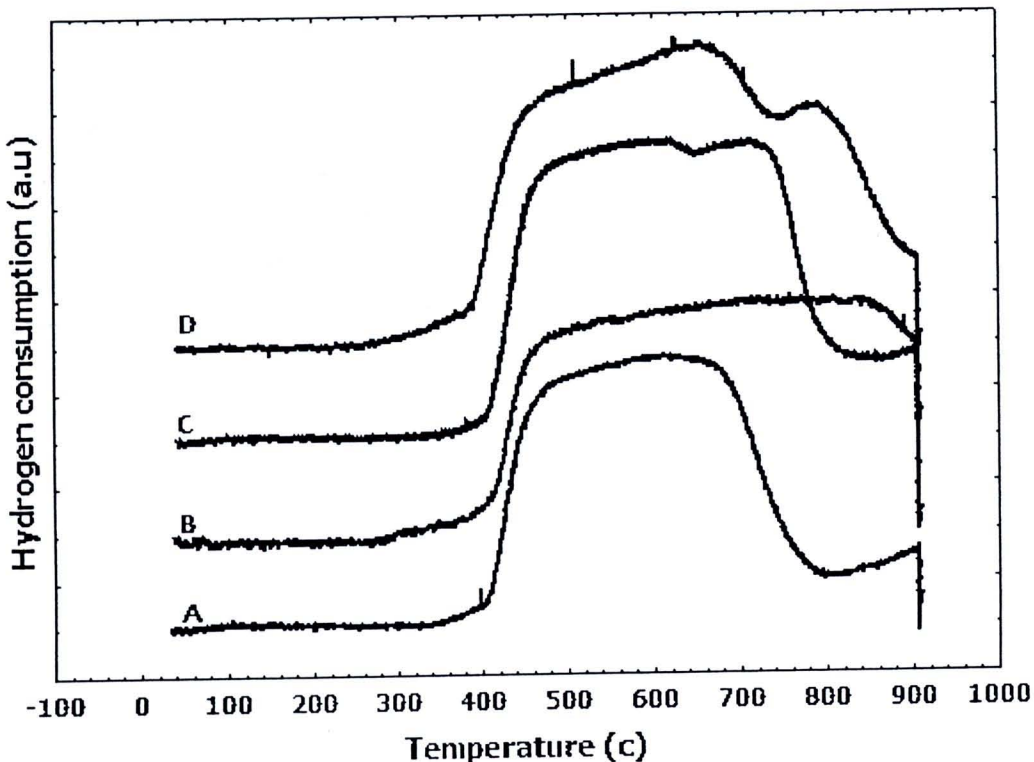
4.3.2 Temperature Programmed Reduction (TPR)

สำหรับประสิทธิภาพในการเกิด Redox property ของตัวเร่งปฏิกิริยาสามารถทำการตรวจสอบได้โดยการรีดักชันตามอุณหภูมิที่โปรแกรม (Temperature Programmed Reduction; TPR) โดยอาศัยหลักการคุณสมบัติ H₂ ของตัวเร่งปฏิกิริยาผลที่ได้ดังแสดงในกราฟรูปที่ 4.15

จากรูปที่ 4.15 แสดงผลการวิเคราะห์ที่ได้จากเทคนิคการรีดักชันตามอุณหภูมิที่โปรแกรม (TPR) ของตัวเร่งปฏิกิริยา Ni/Ce-ZrO₂ อัตราส่วน Ce-Zr คือ 1/1, 1/3, 3/1 เปรียบเทียบกับ Ni/CeO₂ (TPR) ของตัวเร่งปฏิกิริยา Ni/CeO₂ มีพื้นที่เกิดจากการรีดักชัน 2 ตำแหน่งคือที่อุณหภูมิ 611°C, 906°C ที่พนว่าตัวเร่งปฏิกิริยา Ni/CeO₂ มีพื้นที่เกิดจากการรีดักชัน 2 ตำแหน่งคือที่อุณหภูมิ 611°C, 906°C ที่

อุณหภูมิต่ำเป็นการรีดักชันที่พื้นผิวของตัวเร่งปฏิกิริยาและที่อุณหภูมิสูงเป็นการรีดักชันในเนื้อของตัวเร่งปฏิกิริยา เมื่อ Ni^{2+} แทรกเข้าไปในผลึกแทนที่ Ce^{4+} ทำให้โครงสร้างตัวเร่งปฏิกิริยาเกิดบิดเบือนได้ทำให้เกิดการทำปฏิกิริยากับออกซิเจนได้สูง ซึ่งอาจทำให้ง่ายในการรีคิวส์ที่อุณหภูมิต่ำ [6]

$\text{Ni/Ce-ZrO}_2[1/1]$ มีพีคที่เกิดจากการรีดักชัน 1 ตำแหน่งคือ ที่อุณหภูมิ 759°C , $\text{Ni/Ce-ZrO}_2[1/3]$ มีพีคที่เกิดจากการรีดักชัน 3 ตำแหน่งคือ ที่อุณหภูมิ 620°C , 701°C และ 906°C $\text{Ni/Ce-ZrO}_2[3/1]$ มีพีคที่เกิดจากการรีดักชัน 2 ตำแหน่งคือ ที่อุณหภูมิ 653°C และ 780°C



รูปที่ 4.15 ผลการวิเคราะห์ที่ได้จากเทคนิคการรีดักชันตามอุณหภูมิที่โปรแกรมของตัวเร่งปฏิกิริยาที่เติมเซอร์โคเนียมเป็นตัวรองรับออกไซค์ร่วม $A=\text{Ni/CeO}_2$, $B=\text{Ni/Ce-Zr}[1/1]$, $C=\text{Ni/Ce-Zr}[1/3]$, $D=\text{Ni/Ce-Zr}[3/1]$

เมื่อพิจารณาการรีดักชันของ Ni/Ce-ZrO_2 ทั้ง 3 สัดส่วนเปรียบเทียบกับ Ni/CeO_2 พบว่า อุณหภูมิของการรีดักชันที่พีคแรก สูงกว่าการรีดักชันของ Ni/CeO_2 ซึ่งเป็นผลจาก Zr^{4+} แทรกเข้าไป ผลึกของ Ce ทำให้ตัวรองรับมีความแข็งแรงมากขึ้นและแรงจากการทำอันตรกิริยาระหว่างโลหะ ว่องไวกับตัวรองรับสูงขึ้น ทำให้รีดักชันยากขึ้น และเหตุผลทางด้านโครงสร้างของผลึก เมื่อเติมเซอร์โคเนียมทำให้โครงสร้างของผลึกมีส่วนที่เป็นแบบ Tetragonal phase ซึ่งเกิดการรีคิวส์ยากกว่า [23] แต่ เมื่อพิจารณาระหว่างตัวเร่งปฏิกิริยา Ni/Ce-ZrO_2 ทั้ง 3 สัดส่วนพบว่า $\text{Ni/Ce-ZrO}_2[1/3]$ พบร่วมพีค

ขนาดเล็กที่อุณหภูมิ 620°C ส่วนพีคที่ 2 อุณหภูมิ 701°C เป็นการรีดักชันของโลหะว่องไวบนผิwtaw รองรับ จากรูป 4.15 พีคแรกกับพีคที่สองมีความเหลื่อมไกลต่ำกัน แสดงว่าโลหะว่องไวและตัวรองรับถูกรีดักชันพร้อมๆ กัน ส่วนพีคที่อุณหภูมิ 906°C แสดงว่าโลหะนิกเกิลสามารถแทรกเข้าไปในสารละลายของแข็ง Ce-ZrO_2 ทำให้การรีดักชันยากขึ้น

สำหรับตัวเร่งปฏิกิริยา $\text{Ni/Ce-ZrO}_2[1/1]$ มีพีคจากการรีดักชันเพียงพีคเดียวแสดงว่า Ni-Ce-Zr เกิดเป็นสารละลายของแข็ง (Solid solution) มีความแข็งแรงสูงทำให้อุณหภูมิของการรีดักชันสูง [19] สำหรับตัวเร่งปฏิกิริยา $\text{Ni/Ce-ZrO}_2[3/1]$ การรีดักชันที่ผิwtaw ของตัวเร่งปฏิกิริยาเกิดที่อุณหภูมิ 653°C และอุณหภูมิ 780°C เป็นรีดักชันในเนื้อตัวเร่งปฏิกิริยา แสดงว่าการทำอันตรายระหว่างโลหะว่องไว กับตัวรองรับไม่สูง

เมื่อพิจารณาปริมาณค่า Hydrogen consumption จากตัวเร่งปฏิกิริยาปรากฏว่าตัวเร่งปฏิกิริยา $\text{Ni/Ce-Zr}[3/1]$ มีค่า Hydrogen consumption มากที่สุดรองลงมาคือ $\text{Ni/Ce-Zr}[1/1]$, $\text{Ni/Ce-Zr}[1/3]$ และ Ni/CeO_2 ตามลำดับ ทั้งนี้อาจล่าวได้ว่า $\text{Ni/Ce-Zr}[3/1]$ นั้นมีประสิทธิภาพในการเกิดปฏิกิริยา Redox property มากที่สุดเนื่องด้วยปริมาณ H_2 ที่ถูกใช้ไปจะเป็นตัวบ่งบอกถึงปริมาณ O_2 ที่อยู่ภายในตัวเร่งปฏิกิริยา หากปริมาณ H_2 ที่ใช้ไปมาก ปริมาณ O_2 ภายในตัวเร่งปฏิกิริยาที่ยังมากนั้นหมายถึงการเกิด Redox property จะยิ่งสูงตามไปด้วย [15] ซึ่งเป็นผลดีต่อตัวเร่งปฏิกิริยาในการนำไปทดสอบในกระบวนการรีฟอร์มมิ่ง เพราะด้วยคุณสมบัติที่ดีของซีเรียมในด้าน Redox property จึงเป็นผลดีต่อตัวเร่งปฏิกิริยา $\text{Ni/Ce-Zr}[3/1]$ ที่มีสัดส่วนที่สูงและเซอร์โคเนียมช่วยเพิ่มความแข็งแรงป้องกันการเกิดการหลอมด้วย เมื่อเปรียบเทียบกับ Ni/CeO_2 การเติมเซอร์โคเนียมเป็นผลดีต่อตัวเร่งปฏิกิริยาทั้งในด้านคุณลักษณะทางกายภาพ และคุณสมบัติในการนำไปใช้งาน

4.3.3 ประสิทธิภาพของตัวเร่งปฏิกิริยาในการทดสอบในกระบวนการ Steam reforming

เพื่อศึกษาประสิทธิภาพของตัวเร่งปฏิกิริยาที่เติมเซอร์โคเนียมเป็นตัวรองรับออกไซด์ร่วมซึ่งเดรียมตามวิธีที่ 3 แล้วเติมโลหะว่องไวนิกเกิลตามวิธีที่ 2 เมื่อพิจารณาค่าตามตารางที่ 4.7 เป็นผลจากกระบวนการ Steam reforming ด้วยมีเทนปรากฏว่าค่า CH_4 Conversion ของตัวเร่งปฏิกิริยา $\text{Ni/Ce-Zr}[3/1]$ สูงสุดตามด้วย Ni/CeO_2 , $\text{Ni/Al}_2\text{O}_3$, $\text{Ni/Ce-Zr}[1/3]$, และ $\text{Ni/Ce-Zr}[1/1]$ ตามลำดับ ซึ่งสอดคล้องกับผลของ TPR ยกเว้น $\text{Ni/Al}_2\text{O}_3$ ซึ่งอาจจะมีปัจจัยทางด้านอื่นอาทิเช่นพื้นที่ผิว แต่เมื่อพิจารณาค่า Carbon formation ตัวเร่งปฏิกิริยาที่มีเซอร์โคเนียมเป็นออกไซด์ร่วมเปรียบเทียบกับ $\text{Ni/Al}_2\text{O}_3$ ปรากฏว่ามีค่า Carbon formation ต่ำกว่า ซึ่งถือว่าเป็นข้อดีของตัวรองรับ Ce-ZrO_2 ในการป้องกันการก่อตัวของคาร์บอนบนตัวเร่งปฏิกิริยา [10] และยังเพิ่มการกระจายตัวความว่องไวให้กับโลหะนิกเกิลอีกด้วย

เมื่อพิจารณาตัวเร่งปฏิกิริยาที่เติมเซอร์โคเนียมเป็นตัวองรับออกไซด์รวมทั้ง 3 อัตราส่วนป Rakawà Ni/Ce-Zr[3/1] มีค่ามีเทนคอนเวอร์ชัน, Carbon formation และ % H₂ ดีที่สุดตามผลของ Temperature Programmed Reduction ถึงแม้ Ni/Ce-Zr[3/1] จะมีพื้นที่ผิวต่ำเมื่อเปรียบเทียบกับ Ni/Ce-Zr[1/3] แต่ด้วยอัตราส่วนของซีเรียมที่มากกว่าทำให้มีคุณสมบัติ Redox property ดีกว่า แต่พื้นที่ผิวของตัวเร่งปฏิกิริยาเป็นปัจจัยหนึ่งที่มีผลต่อประสิทธิภาพของตัวเร่งปฏิกิริยา ซึ่งถ้าตัวองรับมีพื้นที่ผิวสูง [9][11] ก็จะส่งผลดีต่อการกระจายตัวของโลหะว่องไว ซึ่งจะทำให้โลหะว่องไวมีการกระจายตัวดีตามไปด้วย ซึ่งจะส่งผลดีต่อประสิทธิภาพของตัวเร่งปฏิกิริยาด้วย

ตารางที่ 4.7 ค่า Methane Conversion และ Carbon formation จากการทดสอบ Methane Steam reforming ของตัวเร่งปฏิกิริยาที่มีการเติมเซอร์โคเนียม

Catalyst	% H ₂	H ₂ /CO	CH ₄ Conversion	Carbon formation
Ni/CeO ₂	77.4	4.14	71.3	0.14
Ni/Ce-Zr[1/3]	81.3	3.75	44.7	0.21
Ni/Ce-Zr[1/1]	77.5	3.83	42.9	0.19
Ni/Ce-Zr[3/1]	87.4	3.14	81.5	0.08
Ni/Al ₂ O ₃	85.6	3.62	49.6	0.8

4.4 อิทธิพลของการแคลไชค์กายได้สภาวะในโตรเจน

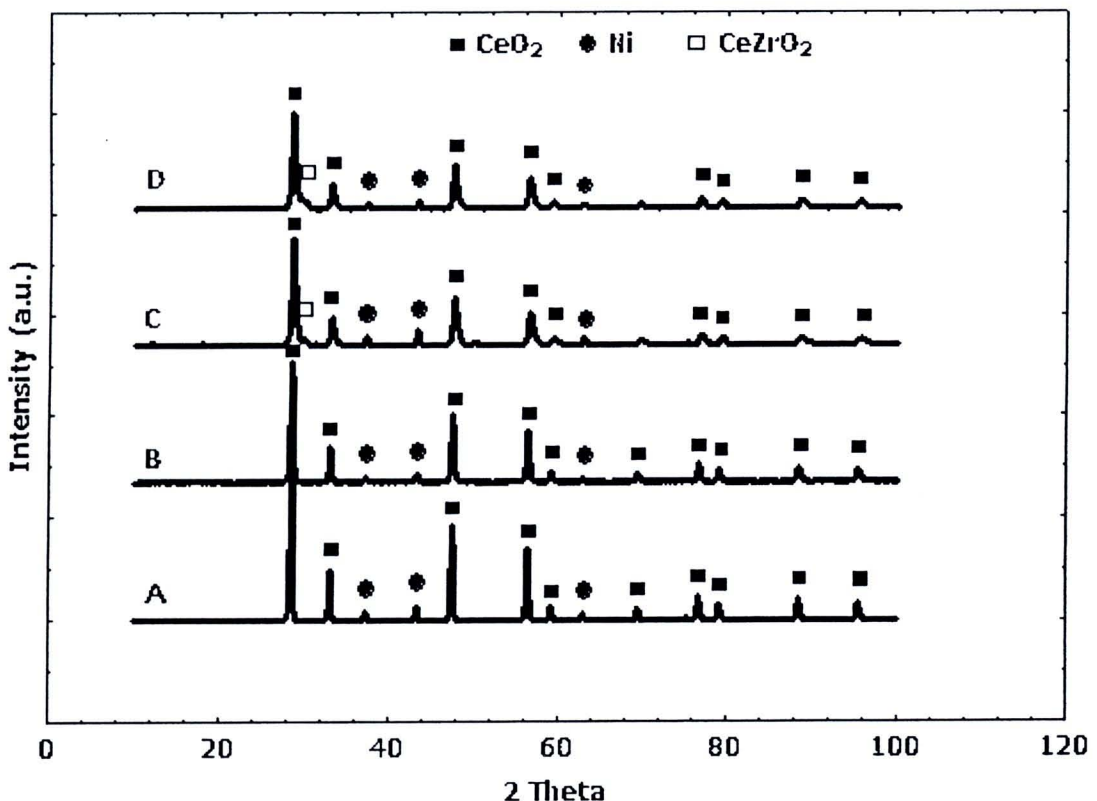
เมื่อได้ผลของการทดลองตามหัวข้อที่ 3.3.3 ซึ่งอัตราส่วนที่เหมาะสมของตัวองรับ Ce-ZrO₂ คือที่อัตราส่วน 3/1 นำไปทดลองขึ้นต่อไปโดยแคลไชค์กายได้สภาวะในโตรเจน [22] เพื่อต้องการตัวเร่งปฏิกิริยาที่ดี มีพื้นที่ผิวสูง เหมาะสมสำหรับการใช้งาน ซึ่งได้ผลการทดลองดังนี้

4.4.1 X-ray diffraction (XRD)

เมื่อนำอนุภาค Ni/CeO₂, Ni/Ce-ZrO₂ ที่ได้จากการสังเคราะห์ไปวิเคราะห์ด้วยเทคนิคการเลี้ยงเบนของรังสีเอ็กซ์ (X-ray Diffraction; XRD) จะได้กราฟ Diffractogram ของสารตัวอย่าง ซึ่งสามารถบอกถึงเฟสของซีเรียมออกไซด์ (CeO₂) เฟสของ Ce-ZrO₂ และเฟสของนิกเกลต์ (Ni) บนตัวเร่งปฏิกิริยาได้

ในการทดลองผลของการเคลือบไซด์กายใต้สภาวะในไตรเจนของตัวเร่งปฏิกิริยา Ni/CeO₂ และ Ni/Ce-Zr[3/1] แคลไซด์ที่อุณหภูมิ 900°C ชี้ผลการทดลองแสดงตามรูปที่ 4.17 เปรียบเทียบกับตัวเร่งปฏิกิริยา Ni/CeO₂ และ Ni/Ce-Zr[3/1] แคลไซด์ที่อุณหภูมิ 900°C กายใต้บรรยายกาศปกติ พบว่าตัวเร่งปฏิกิริยา Ni/CeO₂ ที่แคลไซด์กายใต้ในไตรเจนมีเฟส CeO₂ เป็นหลักและปรากฏเฟสของ NiO ในผลึกโครงสร้างของตัวเร่งปฏิกิริยา ซึ่งโครงสร้างผลึกเป็นแบบ Face centre cubic ซึ่งไม่แตกต่างจากการเคลือบไซด์กายใต้บรรยายกาศปกติ ในขณะที่ Ni/Ce-Zr[3/1] ที่แคลไซด์กายใต้บรรยายกาศในไตรเจนปรากฏเฟสของ CeO₂ โครงสร้างผลึกเป็นแบบ Face centre cubic และเฟสของ CeZrO₂ เป็นแบบ Tetragonal ไม่แตกต่างจากการเคลือบไซด์กายใต้บรรยายกาศปกติเช่นกัน

เมื่อพิจารณาคุณลักษณะทางกายภาพตามตารางที่ 4.4 ปรากฏว่า Ni/CeO₂ ที่แคลไซด์กายใต้ในไตรเจนมีพื้นที่ผิวลดลง ขณะที่ Ni/Ce-ZrO₂[3/1](N₂) พื้นที่ผิวลดลงเช่นกัน อาจจะเกิดจากการเคลือบไซด์กายใต้ในไตรเจนนั้น สารอินทรีย์จากการเตรียมตามวิธีคอลดอยดอลอีมัลชันแอกฟอรอน (CEA) เท่าที่ไม่หมด อุดรูพรุนและหลอมรวมกับตัวเร่งปฏิกิริยา



รูปที่ 4.16 ผลการวิเคราะห์ที่ได้จากเทคนิคการเลือบเวบนของรังสีเอ็กซ์ของตัวเร่งปฏิกิริยาที่เคลือบไซด์กายใต้สภาวะในไตรเจน A= Ni/CeO₂, B= Ni/CeO₂(N₂), C= Ni/Ce-Zr [3/1] D= Ni/Ce-Zr [3/1](N₂)

ตารางที่ 4.8 คุณลักษณะทางกายภาพของตัวเร่งปฏิกิริยาที่แคลไชค์กายได้ในไตรเจน

Catalyst	S_{BET} (m^2/g)	Vpore (cc/g)	Dpore (\AA)	Crystal Size (CeO_2 , nm)	Crystal Size (CeZrO_2 nm)
Ni/ CeO_2	23.71	0.0566	95.51	25.87	-
Ni/Ce-Zr[3/1]	81.83	0.2251	110.0	16.58	15.85
Ni/ $\text{CeO}_2(\text{N}_2)$	6.07	0.0355	233.7	22.95	-
Ni/Ce-Zr[3/1](N_2)	31.5	0.1097	139.20	16.79	17.19
Ni/ Al_2O_3	73.59	0.2002	108.80	-	-

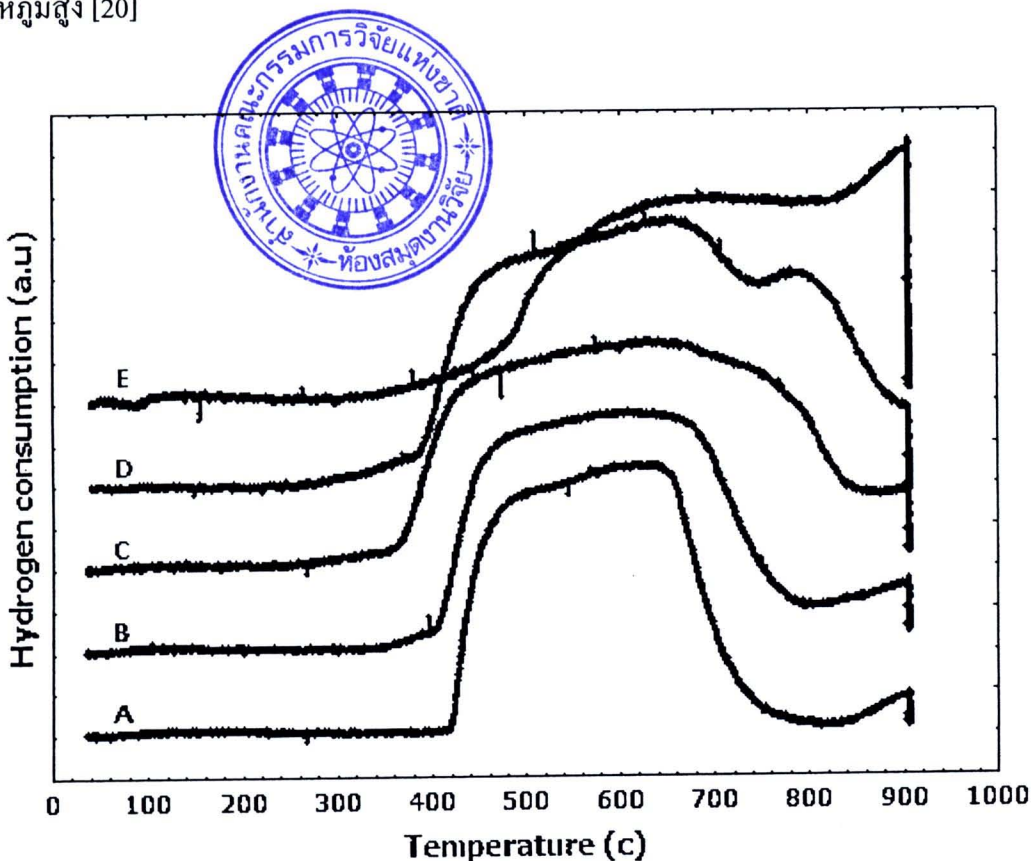
4.3.2 Temperature Programmed Reduction (TPR)

สำหรับประสิทธิภาพในการเกิด Redox property ของตัวเร่งปฏิกิริยาสามารถทำการตรวจสอบได้โดยการรีดักชันตามอุณหภูมิที่โปรแกรม (Temperature Programmed Reduction; TPR) โดยอาศัยหลักการคุณดัชน์ก๊าซ H_2 ของตัวเร่งปฏิกิริยาผลที่ได้ดังแสดงในกราฟรูปที่ 4.17

จากรูปที่ 4.17 แสดงผลการวิเคราะห์ที่ได้จากเทคนิคการรีดักชันตามอุณหภูมิที่โปรแกรม (TPR) ของตัวเร่งปฏิกิริยาที่แคลไชค์กายได้ในไตรเจนเปรียบเทียบกับตัวเร่งปฏิกิริยาที่แคลไชค์กายได้บรรยายกาศปกติ พ布ว่าตัวเร่งปฏิกิริยา Ni/ $\text{CeO}_2(\text{N}_2)$ มีพีคที่เกิดจากการรีดักชัน 2 ตำแหน่งคือ ที่ อุณหภูมิ 634°C , 909°C และ Ni/Ce-Zr[3/1](N_2) มีพีคที่เกิดจากการรีดักชัน 2 ตำแหน่งคือ ที่ อุณหภูมิ 680°C , 908°C ส่วนตัวเร่งปฏิกิริยาที่แคลไชค์กายได้บรรยายกาศปกติ Ni/ CeO_2 มีพีคที่เกิดจากการรีดักชัน 2 ตำแหน่งคือ ที่ อุณหภูมิ 611°C , 906°C Ni/Ce-Zr[3/1] มีพีคที่เกิดจากการรีดักชัน 2 ตำแหน่ง คือ ที่ อุณหภูมิ 653°C , 780°C และ Ni/ Al_2O_3 มีพีคที่เกิดจากการรีดักชัน 2 ตำแหน่งคือ ที่ อุณหภูมิ 623°C , 906°C โดยพีคที่อุณหภูมิแรกเป็นการรีดักชันที่ผิวตัวรองรับ แสดงถึงอันตรกิริยะระหว่างโลหะ ว่องไวกับตัวรองรับ ส่วนพีคที่สองเป็นการรีดักชันในเนื้อตัวเร่งปฏิกิริยา

จากพีคของการรีดักชันพบว่าเมื่อแคลไชค์กายได้สภาวะในไตรเจน พีคการรีดักชันของตัวเร่งปฏิกิริยา Ni/ CeO_2 และ Ni/Ce-Zr[3/1] อุณหภูมิเดือนเพิ่มขึ้นเมื่อเปรียบเทียบกับการแคลไชค์กายได้บรรยายกาศปกติ ซึ่งแสดงว่าเกิดรีดักชันมากขึ้น การทำอันตรกิริยะระหว่างโลหะ ว่องไวกับตัวรองรับ แข็งแรงขึ้น โลหะ ว่องไว กับตัวรองรับ ใกล้ชิดมากขึ้น เมื่อแคลไชค์กายได้บรรยายกาศในไตรเจน

เมื่อพิจารณาปริมาณค่า Hydrogen consumption ปรากฏว่าตัวเร่งปฏิกิริยา Ni/Ce-Zr[3/1](N₂) มีค่า Hydrogen consumption มากที่สุดรองลงมาคือ Ni/Ce-Zr[3/1], Ni/CeO₂, Ni/CeO₂(N₂) และ Ni/Al₂O₃ ตามลำดับ ทั้งนี้อาจกล่าวได้ว่า Ni/Ce-Zr[3/1](N₂) นี้มีประสิทธิภาพในการเกิดปฏิกิริยา Redox property มากที่สุดเนื่องด้วยปริมาณ H₂ ที่ถูกใช้ไปจะเป็นตัวบ่งบอกถึงปริมาณ O₂ ที่อยู่ภายในตัวเร่งปฏิกิริยา หากปริมาณ H₂ ที่ใช้ไปมาก ปริมาณ O₂ กายในตัวเร่งปฏิกิริยาจะยิ่งมากนั้นหมายถึงการเกิด Redox property จะยิ่งสูงตามไปด้วย [15] ซึ่งเป็นผลดีต่อตัวเร่งปฏิกิริยาในการนำไปทดสอบในกระบวนการรีฟอร์มมิ่ง แต่ผลตามตารางที่ 4.8 ตัวเร่งปฏิกิริยาที่แคลไชด์กายได้ในโตรเจนมีพื้นที่ผิวลดลง อาจทำให้ประสิทธิภาพลดลง ได้ เพราะพื้นที่ผิวเป็นคุณลักษณะที่สำคัญในการทดสอบการใช้งานที่อุณหภูมิสูง [20]



รูปที่ 4.17 ผลการวิเคราะห์ที่ได้จากเทคนิคการรีดักชันตามอุณหภูมิที่โปรแกรมของตัวเร่งปฏิกิริยาที่แคลไชด์กายได้ในโตรเจน A=Ni/Al₂O₃, B=Ni/CeO₂, C=Ni/CeO₂(N₂), D=Ni/Ce-Zr[3/1], E=Ni/Ce-Zr[3/1](N₂)

4.4.3 ประสิทธิภาพของตัวเร่งปฏิกิริยาในการทดสอบในกระบวนการ Steam reforming

เพื่อศึกษาประสิทธิภาพของตัวเร่งปฏิกิริยาที่แคลไชด์กายได้สภาวะในโตรเจนของตัวเร่งปฏิกิริยา Ni/CeO₂ และ Ni/Ce-Zr[3/1] เปรียบเทียบกับตัวเร่งปฏิกิริยา Ni/CeO₂, Ni/Ce-Zr[3/1] และ

$\text{Ni}/\text{Al}_2\text{O}_3$ ที่แคดไซด์กายได้บรรยายค่าปกติ เมื่อพิจารณาตามตารางที่ 4.9 พนบว่าการแคดไซด์กายได้ในโตรเจนค่า CH_4 Conversion มีค่าลดลงเมื่อเปรียบเทียบกับตัวเร่งปฏิกิริยาที่แคดไซด์กายได้บรรยายค่าปกติ อาจไม่สอดคล้องกับผลที่ได้จากการรีดักชันตามอุณหภูมิที่โปรแกรม (Temperature Programmed Reduction; TPR) อาจเป็นผลของพื้นที่ผิวของตัวเร่งปฏิกิริยาที่ลดลงเมื่อแคดไซด์กายได้ในโตรเจน ซึ่งประสิทธิภาพของตัวเร่งปฏิกิริยาจะมีความสัมพันธ์กับพื้นที่ผิวของตัวเร่งปฏิกิริยาและ การกระจายตัวของโลหะว่องไวอย่างมีนัยสำคัญ [20] [23]

ตารางที่ 4.9 ค่า Methane Conversion และ Carbon formation จากการทดสอบ Methane Steam reforming ของตัวเร่งปฏิกิริยาที่แคดไซด์กายได้บรรยายค่าในโตรเจน

Catalyst	% H ₂	H ₂ /CO	CH ₄ Conversion	Carbon formation
Ni/CeO ₂	77.4	4.14	71.3	0.14
Ni/Ce-Zr[3/1]	87.4	3.14	81.5	0.08
Ni/CeO ₂ (N ₂)	71.4	3.77	34.0	0.12
Ni/Ce-Zr[3/1](N ₂)	88.1	3.08	54.9	0.10
Ni/Al ₂ O ₃	85.6	3.62	49.6	0.80